



วิทยานิพนธ์

ชีววิทยาการสืบพันธุ์เพื่อการเพาะเลี้ยงงูเห่าไทยในกรงเลี้ยง

REPRODUCTIVE BIOLOGY FOR THAI MONOCLED COBRA

Naja kaouthia LESSON, 1831 PROPAGATION IN CAPTIVITY

นางสาวรวิฑู มีสุข

บัณฑิตวิทยาลัย มหาวิทยาลัยเกษตรศาสตร์

พ.ศ. 2551



ใบรับรองวิทยานิพนธ์

บัณฑิตวิทยาลัย มหาวิทยาลัยเกษตรศาสตร์

วิทยาศาสตร์มหาบัณฑิต (สัตววิทยา)

ปริญญา

สัตววิทยา

สัตววิทยา

สาขา

ภาควิชา

เรื่อง ชีววิทยาการสืบพันธุ์เพื่อการเพาะเลี้ยงงูเห่าไทยในกรงเลี้ยง

Reproductive Biology for Thai Monocled Cobra *Naja kaouthia* Lesson, 1831

Propagation in Captivity

นามผู้วิจัย นางสาวรวิฑู มีสุข

ได้พิจารณาเห็นชอบโดย

ประธานกรรมการ

(รองศาสตราจารย์พนัส ธรรมกิตติวงศ์, ปร.ด.)

กรรมการ

(รองศาสตราจารย์วิยะดา สีหบุตร, ปร.ด.)

กรรมการ

(สัตวแพทย์หญิงลาวัณย์ จันทร์โฮม, สพ.บ.)

หัวหน้าภาควิชา

(รองศาสตราจารย์สมภพ นวีภาพ, วท.ม.)

บัณฑิตวิทยาลัย มหาวิทยาลัยเกษตรศาสตร์รับรองแล้ว

(รองศาสตราจารย์กาญจนา วีระกุล, D.Agr.)

คณบดีบัณฑิตวิทยาลัย

วันที่ เดือน พ.ศ.

วิทยานิพนธ์

เรื่อง

ชีววิทยาการสืบพันธุ์เพื่อการเพาะเลี้ยงงูเห่าไทยในกรงเลี้ยง

Reproductive Biology for Thai Monocled Cobra *Naja kaouthia* Lesson, 1831 Propagation in
Captive

โดย

นางสาวรวิฑู มีสุข

เสนอ

บัณฑิตวิทยาลัย มหาวิทยาลัยเกษตรศาสตร์
เพื่อความสมบูรณ์แห่งปริญญาวิทยาศาสตรมหาบัณฑิต (สัตววิทยา)

พ.ศ. 2551

รววิฑู มีสุข 2551: ชีววิทยาการสืบพันธุ์เพื่อการเพาะเลี้ยงงูเห่าไทยในกรงเลี้ยง ปริญา
วิทยาศาสตร์มหาบัณฑิต (สัตววิทยา) สาขาสัตววิทยา ภาควิชาสัตววิทยา ปรชธาน
กรรมการที่ปรึกษา: รองศาสตราจารย์พนัส ธรรมกัรตวงศ์, ปร.ด. 54 หน้า

ประชากรงูเห่าไทยลดลงในถิ่นที่อยู่อาศัยธรรมชาติกระทบต่อระบบนิเวศ กอปร
การแพทย์ต้องการงูเห่าไทยเพื่อรีดพิษทำเซรุ่ม นำไปสู่การการเพาะขยายพันธุ์งูเห่าไทยในกรงเลี้ยง
ในอนาคต ซึ่งจำเป็นอย่างยิ่งต่อการศึกษาวิจัยด้านชีววิทยาระบบสืบพันธุ์ของงูเห่าไทย ซึ่งมีการ
ศึกษาวิจัยน้อยมากในประเทศไทย โดยเฉพาะอย่างยิ่งในนิเวศกรงเลี้ยง การวิจัยครั้งนี้จึงมุ่งเน้น
ศึกษามหากายวิภาค ระบบขับถ่ายสืบพันธุ์ จุลกายวิภาคระบบสืบพันธุ์ และฮอร์โมนเพศของงูเห่า
ไทย (*Naja kaouthia*) เพศเมียและเพศผู้ในกรงเลี้ยงของสถานเสาวภา สภากาชาดไทย จากการวิจัย
ครั้งนี้พบว่าสัณฐานวิทยาของรังไข่ของงูเห่าไทยเป็นรูปยาวรี ข้างขวาใหญ่กว่าและอยู่หน้ากว่าข้าง
ซ้าย ภายในรังไข่มีฟอลลิเคิลเรียงเป็นแถวยาวและท่อนำไข่ทอดตัวยาวเป็นแนวเดียวกับรังไข่ไป
เปิดที่ทวารร่วม มีไต 2 ข้าง ขนาดเท่ากัน โดยข้างขวาอยู่หน้ากว่าข้างซ้าย และท่อไตเป็นท่อใสยาว
ทอดออกจากไตไปเปิดที่ทวารร่วม ภายในรังไข่ของงูเห่าไทยพบฟอลลิเคิลระยะก่อนสะสมไข่แดง
(previtellogenic follicle) และระยะสะสมไข่แดง (vitellogenic follicle) และคอร์ปัสลูเทียม
(corpus luteum) เฉพาะในรังไข่ที่เก็บศึกษาในเดือนพฤศจิกายน ไม่พบในเดือนพฤษภาคม ส่วน
อวัยวะของงูเห่าไทยเป็นรูปยาวรี ข้างขวาใหญ่กว่าและอยู่หน้ากว่าข้างซ้ายเช่นกัน
มีหลอดนำอสุจิต่อจากอวัยวะไปเปิดที่เฮมิเพนิส ไตและท่อไตของงูเห่าไทยเพศผู้เหมือนกันกับ
ของเพศเมีย ภายในอวัยวะของงูเห่าไทยประกอบด้วยท่อเซมินิเฟอรัสมากมายซึ่งภายในท่อมีอสุจิ
ระยะต่างๆ อย่างไรก็ตามไม่พบความแตกต่างของท่อคัดคัสเอฟเฟอเรนส์และเอพิดิไดมัสใน
งูเห่าไทยที่เก็บศึกษาในเดือนพฤษภาคมและเดือนพฤศจิกายน ระดับความเข้มข้นเฉลี่ยของ
ฮอร์โมนเอสตราไดออลของงูเห่าไทยเพศเมียสูงในช่วงเดือนตุลาคมถึงเดือนพฤศจิกายน ส่วน
ระดับความเข้มข้นเฉลี่ยของฮอร์โมนเทสโทสเทอโรนของงูเห่าไทยเพศผู้สูงในช่วงเดือนสิงหาคม
ถึงกันยายน อย่างไรก็ตามงูเห่าไทยไม่แสดงพฤติกรรมการสืบพันธุ์ในกรงเลี้ยงจากการเฝ้าสังเกต

Worawitoo Meesook 2008: Reproductive Biology for Thai Monocled Cobra *Naja kaouthia* Lesson, 1831 Propagation in Captivity. Master of Science (Zoology), Major Field: Zoology, Department of Zoology. Thesis Advisor: Associate Professor Panas Tumkiratiwong, Ph.D. 54 pages.

As Thai monocled cobra is at high risk of various causes, especially human hunting and become threatened with extinction. Therefore, the Queen Saovabha Memorial Institute (QSMI), Thailand, initiated a captive breeding program to supply healthy snakes for venom and antivenom production. However, to be successful in their propagation, the reproductive biology of Thai monocled cobra maintained in captivity is basically required, namely gross anatomy of female and male urogenital systems, histology of ovaries and testes and monthly sex hormonal profiles of male total testosterone and female estradiol and also their reproductive behavior. All of the samples were collected at the Queen Saovabha Memorial Institute. It was found that ovaries were elongated with the right ovary larger and more anterior to the left one. A single array of follicles inside ovaries was demonstrated. Oviducts and ureters were open to a common cloaca. Testes were also elongated with the right testis larger and more anterior to the left one. The vas deferens was open to the hemipenis. Two stages of follicle development, previtellogenic follicles and vitellogenic follicles were recognized within their ovaries. Additionally, corpus luteums were found in ovaries collected in November but not in May. The atretic follicles were commonly appeared. Their testes were composed of seminiferous tubules. Various stages of spermatogenic development were processed seminiferous tubule. However, no difference in the process of spermatogenic development between May and November was found. Female Thai monocled cobra had two kidneys with the right kidney more anterior to the left one, the same as that of the male. Female estradiol concentration was surged in between October-November while as male total testosterone level was peaked in between August-September, one to two months prior to male maximal levels. However, no data on their reproductive behaviors observed in captivity was available and also no natural Thai monocled cobra was available to be compared to captive Thai monocled cobra.

Student's signature

Thesis Advisor's signature

/ /

กิตติกรรมประกาศ

ผู้วิจัยขอกราบขอบพระคุณรศ.ดร.พนัส ธรรมกิตติวงศ์ ประธานกรรมการที่ปรึกษาเป็น
อย่างสูง ที่ให้ความกรุณาช่วยเหลือและแนะนำตลอดการศึกษาวิจัยในครั้งนี้ พร้อมทั้งช่วยแก้ไข
ปัญหาต่างๆ ในระหว่างทำการศึกษาวิจัยและเรียบเรียงวิทยานิพนธ์ และขอกราบขอบพระคุณรศ.
ดร.วิยะดา สีหบุตร กรรมการที่ปรึกษาสาขาวิชาเอก สพ.ญ.ลาวัณย์ จันทร์โสม กรรมการที่ปรึกษา
สาขาวิชารอง และ ศ.ดร.ชาญวิทย์ วัชรพุกก์ ผู้แทนบัณฑิตวิทยาลัย เป็นอย่างสูงที่ให้คำแนะนำและ
ตรวจแก้ไขวิทยานิพนธ์ฉบับนี้จนเสร็จสมบูรณ์

ขอขอบพระคุณสถานเสาวภา สภากาชาดไทย ที่ให้ความอนุเคราะห์ตัวอย่างงูเห่าไทย และ
สนับสนุนงานวิจัย ขอขอบพระคุณน.สพ.มนตรี เชี่ยวบำรุงเกียรติ น.สพ.ทักษะ เวสารัชชพงศ์
ที่กรุณาให้คำปรึกษาแนะนำ นายสันต์กร พุ่มสิริ และนายวินิจ เพ็ชรอุสาหะ เจ้าหน้าที่สวนงูที่ช่วยให้
การทดลองเป็นไปได้อย่างราบรื่น และผศ.ดร.สพ.ญ.อุไร พงษ์ชัยฤกษ์ อาจารย์ภาควิชากายวิภาค
ศาสตร์ คณะสัตวแพทยศาสตร์ ม.เกษตรศาสตร์ ที่ช่วยให้คำปรึกษาแนะนำเกี่ยวกับเนื้อเยื่อวิทยาของ
งูเห่าไทย

คุณค่าและประโยชน์ทางวิชาการของวิทยานิพนธ์ฉบับนี้ ผู้วิจัยขอกราบเป็นกตเวทิตาแด่
บิดา มารดา และคณาจารย์ผู้ประสิทธิ์ประสาทความรู้ให้แก่ข้าพเจ้าทั้งในอดีตและปัจจุบัน

รววิฑู มีสุข
กันยายน 2551

สารบัญ

	หน้า
สารบัญ	(1)
สารบัญตาราง	(2)
สารบัญภาพ	(3)
คำนำ	1
วัตถุประสงค์	3
การตรวจเอกสาร	4
อุปกรณ์และวิธีการ	12
อุปกรณ์	12
วิธีการ	13
ผลและวิจารณ์	15
ผล	15
วิจารณ์	28
สรุปและข้อเสนอแนะ	31
สรุป	31
ข้อเสนอแนะ	31
เอกสารและสิ่งอ้างอิง	32
ภาคผนวก	37
ประวัติการศึกษา และการทำงาน	54

สารบัญตาราง

ตารางที่		หน้า
1	ช่วงเวลาในการผสมพันธุ์ วางไข่ และไข่ฟักของงูพิษชนิดต่างๆ	11

สารบัญภาพ

ภาพที่		หน้า
1	แสดงระบบขับถ่ายสืบพันธุ์ของงูเห่าไทยเพศเมีย	15
2	แสดงระบบขับถ่ายสืบพันธุ์ของงูเห่าไทยเพศผู้	16
3	เฮมิเพนิสของงูเห่าไทย	17
4	แสดงท่อเลือด ท่อน้ำเหลืองบริเวณรังไข่	18
5	ฟอลลิเคิลของงูเห่าไทย 2 ชนิด	18
6	เปรียบเทียบขนาดของฟอลลิเคิลระยะก่อนสะสมไข่แดงและระยะสะสมไข่แดง	19
7	แสดงส่วนประกอบของฟอลลิเคิล	19
8	แสดงเซลล์แกรนูโลซา 3 ชนิด	20
9	คอร์ปัสลูเทียม	20
10	แสดงภาพตัดขวางอัมพา	21
11	แสดงการเจริญของเซลล์อสุจิ ภายในท่อเซมินิเฟอร์รัส	22
12	แสดงกลุ่มท่อคัดัดสอพเพอเรน	23
13	แสดงเอพิดิไดมิส	24
14	ระดับความเข้มข้นของฮอร์โมนเอสตราไดออล ($\bar{x} \pm S.E.$) ของงูเห่าเพศเมียในกรงเลี้ยงรอบปี	26
15	ระดับความเข้มข้นของฮอร์โมนเทสโทสเตอโรน ($\bar{x} \pm S.E.$) ของงูเห่าเพศผู้ในกรงเลี้ยงรอบปี	27
ภาพผนวกที่		
ข1	แสดงวิธีการเจาะเลือดงู	44
ข2	แสดงเลือดงูที่แยกชั้นจากการปั่นเหวี่ยง	45
ข3	พลาสมางูเห่าไทย	45
ค1	การดูดพลาสมาด้วยไมโครปิเปต	47
ค2	การเป่าด้วยก๊าซไนโตรเจน	47

สารบัญภาพ (ต่อ)

ภาพผนวกที่		หน้า
ง1	ใช้ไมโครปิเปตดูดพลาสมาใส่หลอดทดลอง	49
ง2	เป่าให้แห้งด้วยก๊าซไนโตรเจน	49
จ1	เครื่องวัดรังสีแกมมา	51
ฉ1	ชุดทดสอบฮอร์โมนเทสโทสเตอโรน	53

ชีววิทยาการสืบพันธุ์เพื่อการเพาะเลี้ยงงูเห่าไทยในกรงเลี้ยง

Reproductive Biology for Thai Monocled Cobra *Naja kaouthia* Lesson, 1831

Propagation in Captivity

คำนำ

งูเป็นกลุ่มสัตว์เลื้อยคลานที่มีทั้งคุณค่า และมีโทษต่อมนุษย์โดยเฉพาะงูพิษจำพวกพิษอันตรายและพิษอ่อน อย่างไรก็ตามประชากรของงูพิษน้อยกว่าประชากรของงูไม่มีพิษ (วิโรจน์และบุญเขื่อน, 2525) มนุษย์ใช้ประโยชน์ทางตรงจากงูได้แก่ เนื้อ หนัง กระดูกและเครื่องใน เป็นต้น ส่วนประโยชน์ทางอ้อมเป็นการควบคุมประชากรของหนูศัตรูพืช และหนูพาหะนำโรค (สุขใจ, 2534) ในทางการแพทย์ งูเห่าซึ่งเป็นงูพิษชนิดหนึ่งที่น่าสนใจนำมาผลิตพิษงูเพื่อการผลิตเซรุ่ม นอกจากนี้มีรายงานว่าพิษงูเห่าสามารถลดความเจ็บปวดเรื้อรังจากโรคไขข้ออักเสบ (Deoras, 1965) ปัจจุบันมนุษย์นิยมจับงูเห่าขายและส่งออกต่างประเทศ ส่งผลให้จำนวนประชากรงูเห่าลดลงจากถิ่นที่อยู่อาศัยตามธรรมชาติและใกล้สูญพันธุ์จากธรรมชาติของประเทศไทย สถานเสาวภา สภากาชาดไทย จึงริเริ่มโครงการนำงูเห่าไทยมาเลี้ยงในกรงเลี้ยงเพื่อทำการรีดพิษสำหรับใช้ในการผลิตเซรุ่ม กระตุ้นให้กลุ่มนักวิจัยทำการศึกษาวิจัยมากมายเกี่ยวกับชีววิทยาของงูเห่า เป็นต้นว่า Salakij *et al.* (2002) ศึกษาเปรียบเทียบโลหิตวิทยาในงูเห่า 3 ชนิด คือ งูเห่าไทย งูเห่าพ่นพิษสยาม และงูเห่าทองพ่นพิษ Chanhome *et al.* (2001) ศึกษาการเพาะเลี้ยงงูพิษในประเทศไทย ได้แก่ งูเห่าไทย งูเห่าพ่นพิษสยาม งูจงอาง งูสามเหลี่ยม งูทับสมิงคลา งูกระจับ และงูแมวเซา ณีฎฐิณี (2544) ศึกษาลำดับกรดอะมิโนของอะโปไลโปตีนชนิดหนึ่งของสัตว์เลื้อยคลาน 4 ชนิดที่พบในประเทศไทย ได้แก่ จระเข้ น้ำจืด จระเข้ น้ำเค็ม งูเห่าไทย และแยะ ประทานพร (2538) ศึกษาผลของพิษงูเห่าและส่วนสกัดที่เป็นพิษต่อการทำงานของหัวใจและไตในสุนัขที่สลบ และวรรณ (2534) ศึกษาองค์ประกอบของพิษงูเห่าไทยที่มีผลต่อการตายของเนื้อเยื่อเฉพาะบริเวณ เป็นต้น อย่างไรก็ตามการวิจัยด้านชีววิทยาการสืบพันธุ์ของงูเห่าไทยในกรงเลี้ยงเพื่อการขยายพันธุ์มีการศึกษากันน้อยมาก ซึ่งเป็นศาสตร์ที่มีความจำเป็นอย่างยิ่งต่อการเพาะเลี้ยงงูเห่าไทยในอนาคต เพื่อใช้เป็นข้อมูลพื้นฐานการเพาะเลี้ยงขยายพันธุ์งูเห่าที่กำลังถูกคุกคามจนใกล้สูญพันธุ์จากธรรมชาติ การวิจัยครั้งนี้จึงมุ่งเน้นศึกษา กายวิภาคศาสตร์ ระบบขับถ่ายสืบพันธุ์ของงูเห่าไทยเพศเมียและเพศผู้ จุลกายวิภาคของรังไข่และอวัยวะของงูเห่าไทย นอกจากนี้การประสบความสำเร็จส่วนหนึ่งควรใช้วิทยาต่อมไร้ท่อตรวจสอบความแปรปรวนของฮอร์โมนควบคุมพฤติกรรมกรรมการสืบพันธุ์ของงูเห่าไทย แม้ไม่มีงูเห่าไทยจากแหล่งธรรมชาติไว้ศึกษา

เปรียบเทียบที่ตาม นิเวศกรงเลี้ยงจึงเป็นแนวทางหนึ่งในการศึกษาวิจัยวงจรรอบการเปลี่ยนแปลงของ
ฮอร์โมนการสืบพันธุ์ในรอบปีของงูเห่าไทย

วัตถุประสงค์

1. ศึกษาทฤษฎีการศึกษาระบบขับเคลื่อนด้วยพลังงานไฟฟ้าไทยเพศเมียและเพศผู้
2. ศึกษาเปรียบเทียบจุดทฤษฎีการศึกษาระบบขับเคลื่อนด้วยพลังงานไฟฟ้าไทย
3. ศึกษาเปรียบเทียบของฮอร์โมนเอสโตรเจนในพลังงานไฟฟ้าไทยเพศเมีย
4. ศึกษาเปรียบเทียบของฮอร์โมนเพศชายในพลังงานไฟฟ้าไทยเพศผู้

การตรวจเอกสาร

1. ชีววิทยาของงูเห่าไทย

1.1 อนุกรมวิธาน

งูเห่าไทย มีชื่อทางวิทยาศาสตร์ว่า *Naja kaouthia* Lesson, 1831 มีชื่อสามัญว่า Monocled cobra งูเห่าหม้อ Lesson (1831) ได้จัดลำดับทางอนุกรมวิธานดังนี้

Phylum Chordata

Class Reptilia

Order Squamata

Suborder Serpentes

Family Elapidae

Genus *Naja* Laurenti, 1768

Species *Naja kaouthia* Lesson, 1831

1.2 ลักษณะทั่วไปของงูเห่าไทย

1.2.1 รูปร่าง

งูมีลำตัวยาว โคนงอได้ ส่วนหัว ออก ท้อง และหางไม่แตกต่างกัน แบ่งแยกโดยใช้ขนาดเส้นผ่านศูนย์กลาง ลำตัวเป็นส่วนใหญ่ที่สุด ลักษณะเป็นทรงกระบอกตัน มีสันเล็กน้อยด้านข้างลำตัว เป็นรอยต่อระหว่างลำตัวด้านบนและด้านล่าง ส่วนหางเริ่มจากรูเปิดทวารร่วม (cloacal opening) ไปจนสุด งูเห่าไทยเป็นงูพิษขนาดกลาง ค่อนข้างใหญ่ ตัวโตเต็มที่ยาวประมาณ 1-1.8 เมตร (ไพบูลย์, 2547) งูเห่าไทยเพศผู้มักมีขนาดหัวใหญ่กว่า และมีหางยาวกว่าเพศเมีย (Shine *et al.*, 2007)

1.2.2 สีสิวหนัง ลักษณะสิิวหนัง

งูมีเกล็ดปกคลุมตัวเพื่อป้องกันการสูญเสียน้ำ และอันตรายจากการเสียดสี เมื่อเคลื่อนที่โดยการเลื้อย งูมีการลอกคราบเพื่อการเจริญเติบโต เกล็ดด้านท้องของลำตัวมีขนาดใหญ่เรียงตัวแถวเดียวตั้งแต่ลำคอถึงรูเปิดทวารร่วม เกล็ดด้านท้องของหางเรียงตัวเป็นสองแถว งูเห่าไทยมีความแปรผันของสีตัวค่อนข้างสูง แต่ส่วนใหญ่มีสีน้ำตาล น้ำตาลอ่อน น้ำตาลดำ สีออกเหลือง หรือสีนวล (ไพบูลย์, 2547) เมื่อแผ่แม่เบี้ย จะเห็นลายดอกจัน (hood mark) เป็น รูปวงแหวนเดี่ยว (monocellate) ด้านหลังของส่วนคอ (Slowinski and Wüster, 2000)

1.2.3 อวัยวะรับสัมผัส

ตาของงูไม่มีรอยบุ๋ม (fovea) จึงมองเห็นภาพไม่ชัดเจนโดยเฉพาะวัตถุที่ไม่เคลื่อนไหว งูในธรรมชาติจึงกินเฉพาะเหยื่อที่มีชีวิตเท่านั้น งูไม่มีหูชั้นนอก และหูชั้นกลาง แต่มีหูชั้นใน งูรับเสียงจากแรงสั่นสะเทือนจากพื้นผ่านทางกระดูกขากรรไกรล่างและกระดูกต่างๆ ส่งไปยังหูชั้นในแล้วส่งต่อไปยังสมอง อวัยวะจาคอบสันส์ (Jacobson's organ) เป็นอวัยวะที่ใช้ในการรับกลิ่น โดยงูแลบลิ้นรับสัมผัสอากาศที่มีกลิ่นกระจายอยู่แล้วหดลิ้นกลับมาแตะกับอวัยวะจาคอบสันส์ ที่บริเวณเพดานปากซึ่งเชื่อมต่อกับประสาทรับกลิ่น (olfactory nerve) และส่งกระแสประสาทต่อไปยังสมองเพื่อแปลความหมายของกลิ่น งูเห่าไม่มีพิท (pit organ) ซึ่งเป็นอวัยวะที่ใช้สำหรับตรวจสอบรังสีอินฟราเรด (infrared) ทำให้งูสามารถหากินในเวลากลางคืนและล่าสัตว์เลือดอุ่นได้ดี เพราะเวลากลางคืนอุณหภูมิของสิ่งแวดล้อมลดลงในขณะที่อุณหภูมิร่างกายของสัตว์เลือดอุ่นยังคงที่อยู่ จึงค้นหาตำแหน่งเหยื่อได้

1.2.4 ระบบพิษงู

ส่วนประกอบของระบบพิษงู (ไพบูลย์, 2547) ที่สำคัญมีดังนี้

1. ต่อมพิษ (venom gland) เป็นต่อมสร้างน้ำพิษพบในงูพิษวงศ์อีลาพิดี (Elapidae) และไวเพอริดี (Viperidae) ต่อมพิษจะพัฒนาจนมีขนาดใหญ่ ตำแหน่งของต่อมพิษอยู่

หลังถูกคาทั้งสองข้างในตำแหน่งที่เทียบได้กับกระพุ้งแก้ม บนต่อมพิษมีกล้ามเนื้อที่ใช้ควบคุมการหลั่งน้ำพิษ โดยการหดตัวของกล้ามเนื้อให้ต่อมพิษบีบตัวและหลั่งน้ำพิษออกมา

2. ท่อนำน้ำพิษ (venom duct) เป็นท่อเชื่อมระหว่างต่อมพิษและโคนของเขี้ยวพิษ เพื่อลำเลียงน้ำพิษจากต่อมพิษไปสู่เขี้ยวพิษ

3. เขี้ยวพิษ (venom fangs) ใช้ฉีดพิษเข้าสู่ตัวเหยื่อ เขี้ยวพิษที่แหลมคมใช้เจาะเข้าไปในตัวเหยื่อ เขี้ยวพิษอยู่ที่ขากรรไกรบนข้างละ 1 คู่ แต่มีเขี้ยวพิษสำรองหลายชุดอยู่ในเหงือก เมื่อเขี้ยวพิษจริงหักไปเขี้ยวพิษสำรองจะทำหน้าที่แทน งูเห่าจัดเป็นงูเขี้ยวพิษสั้น (proteroglyph) งูที่มีเขี้ยวพิษประเภทนี้มีพิษรุนแรง เขี้ยวพิษยึดติดกับขากรรไกรบนและมีร่องตามยาวอยู่ด้านหน้าของเขี้ยวสำหรับให้น้ำพิษไหลผ่าน งูที่มีเขี้ยวพิษสั้นในประเทศไทย ได้แก่งูในวงศ์อิลลาพิดี เช่น งูเห่า งูจงอาง งูสามเหลี่ยม งูทับสมิงคลา และงูทะเลชนิดต่างๆ เป็นต้น นอกจากนี้งูยังมีการจัดเรียงตัวของฟันและเขี้ยวพิษแบบอื่นๆ ได้แก่

งูเขี้ยวพิษยาว (solenoglyph) งูเขี้ยวพิษประเภทนี้มีพิษรุนแรง เขี้ยวพิษอยู่ด้านหน้าของขากรรไกรบน พับเก็บหรือกางออกได้และมีเขี้ยวหุ้มเขี้ยว เขี้ยวมีช่องกลางภายในให้น้ำพิษไหลผ่าน เขี้ยวพิษประเภทนี้เป็นเขี้ยวพิษที่มีการพัฒนามากที่สุด ในประเทศไทยที่มีเขี้ยวพิษประเภทนี้พบในงูวงศ์ไอเพอริดี เช่น งูแมวเซา งูกะปะ และงูเขี้ยวหางไหม้ชนิดต่างๆ เป็นต้น

งูเขี้ยวพิษหลัง (opistoglyph) งูเขี้ยวพิษหลังบางชนิดมีร่องบนเขี้ยวเพื่อให้น้ำพิษไหลผ่าน แต่บางชนิดเขี้ยวไม่มีร่อง มนุษย์ที่ถูกงูเขี้ยวพิษประเภทนี้กัดโดยเฉพาะงูที่พบในประเทศไทยมักไม่เป็นอันตรายถึงชีวิต แต่ทำให้เกิดอาการบวม แดง ปวดบาดแผล ยกเว้นในบางชนิดที่อาจมีอาการรุนแรง เช่น งูลายสาบคอแดง งูต้องไฟ งูมันทอง เป็นต้น

งูไม่มีเขี้ยวพิษ (aglyph) เป็นงูที่มีฟันซี่เล็กขนาดใกล้เคียงกัน เรียงต่อกันเป็นจำนวนมาก ใช้ขีดและช่วยกลืนเหยื่อ เช่น งูเหลือม งูหลาม เป็นต้น

4. น้ำพิษ (venom) ประกอบด้วยส่วนที่เป็นโปรตีนและไม่ใช่โปรตีน ส่วนที่เป็นโปรตีนมีประมาณ 90 เปอร์เซ็นต์ของน้ำพิษ ส่วนโปรตีนแบ่งย่อยเป็น 2 ส่วน คือ ส่วนที่เป็นพิษ (toxin) และส่วนที่เป็นเอนไซม์ (enzyme) ในประเทศไทยมีรายงานการพบงูจำนวน 163 ชนิด

ในจำนวนนี้มีงูพิษอันตรายอยู่ 48 ชนิด จาก 2 วงศ์ คือ วงศ์อีลาฟิดี และวงศ์ไวเพอริดี (ไพบูลย์, 2547)

2. ชีววิทยาการสืบพันธุ์ของงูเห่า

อัณฑะ (testes) อยู่ภายในช่องท้องบริเวณเหนือไต และติดกับต่อมหมวกไต อัณฑะข้างขวายาวกว่าและอยู่ในระดับสูง (anterior) กว่าข้างซ้าย ขนาดอัณฑะของงูขึ้นอยู่กับกระบวนการสร้างอสุจิ (spermatogenesis) อัณฑะงูที่จำศีลมีขนาดใหญ่ที่สุดช่วงออกจำศีล (ฤดูใบไม้ผลิ) (Jacobson, 2007) ตัวอสุจิเคลื่อนที่จากเซมินิเฟอรัสไปยังคัคคัสเอเฟอเรนส์ เอพิดิไดมิส และหลอดนำอสุจิ เซลล์ที่บุเอพิดิไดมิสเป็นเซลล์ที่มีขน (ciliated cells) (Jacobson, 2007) ตัวอสุจิ (spermatozoa) ของงูประกอบด้วยส่วนหัว ส่วนกลาง และส่วนหาง รูปร่างและขนาดของตัวอสุจิของงูแต่ละชนิดแตกต่างกัน แต่รูปร่างเป็นรูปทวนเหมือนกัน ส่วนหัวมีนิวเคลียส (nucleus) ส่วนปลายหัวมีโครโซม (acrosome) หุ้มทำให้ตัวอสุจิสามารถผ่านเข้าไปในเยื่อหุ้มเซลล์ไข่ ส่วนกลางมีไมโทคอนเดรีย (mitochondria) เป็นแหล่งพลังงานของเซลล์ การโบกหางทำให้อสุจิเคลื่อนที่ได้ (Zug, 1993) กระบวนการสร้างอสุจิเป็นผลมาจากฮอร์โมนเทสโทสเตอโรน (Withers, 1992) เริ่มโดยเซลล์ต้นกำเนิดตัวอสุจิ (spermatogonium) เจริญเป็นเซลล์อสุจิปฐมภูมิ (primary spermatocyte) ที่มีขนาดใหญ่ขึ้น ต่อจากนั้นมีการแบ่งเซลล์แบบไมโอซิส I (meiosis I) ได้เซลล์อสุจิตุติภูมิ (secondary spermatocyte) และแบ่งไมโอซิส II (meiosis II) ได้สเปอริมาติด (spermatid) แล้วมีการเปลี่ยนแปลงรูปร่าง (metamorphosis) เป็นตัวอสุจิ (sperm) ระดับฮอร์โมนเทสโทสเตอโรนในเลือดงูเพศผู้เพิ่มขึ้นในช่วงที่มีกระบวนการสร้างเซลล์สืบพันธุ์ (Edwards and Jones, 2001) คือเดือนกันยายน ส่วนฤดูสืบพันธุ์ของงูการ์เตอร์อยู่ในช่วงเดือนกุมภาพันธ์ถึงเดือนพฤษภาคม (Moore *et al.*, 2000)

การสร้างไข่เกิดขึ้นโดยเซลล์ต้นกำเนิดเซลล์ไข่ (oogonium) เจริญเป็นเซลล์ไข่ปฐมภูมิ (primary oocyte) เซลล์ไข่ปฐมภูมิแต่ละเซลล์ถูกล้อมรอบด้วยเซลล์ฟอลลิเคิล (follicular cell) ได้เป็นฟอลลิเคิลปฐมภูมิ (primary follicle) เซลล์ฟอลลิเคิลสร้างหลายชั้นกลายเป็นฟอลลิเคิลทุติภูมิ (secondary follicle) ต่อมาเซลล์ไข่ปฐมภูมิภายในฟอลลิเคิล แบ่งเซลล์แบบไมโอซิสครั้งที่ 1 ได้เซลล์ไข่ทุติภูมิ (secondary oocyte) ที่มีสารอาหารในเซลล์และมีเซลล์ขั้ว (polar body) เกิดขึ้น เซลล์ไข่ปฐมภูมิเริ่มแบ่งเซลล์แบบไมโอซิส II และหยุดอยู่ที่ระยะเมตาเฟส II (metaphase II)

จากนั้นเกิดการตกไข่ (ovulation) เข้าไปในท่อนำไข่ เมื่อเกิดการปฏิสนธิ (fertilization) จะมีการแบ่งเซลล์แบบไมโอซิส II ต่อจนถึงสิ้นสุดการแบ่งเซลล์ (Zug, 1993)

การปฏิสนธิเกิดขึ้นที่อินฟันดิบูลัม (infundibulum) เมื่อไข่ เคลื่อนเข้ามาในท่อนำไข่ ก่อนที่จะมีการสร้างเปลือกไข่ (egg shell) (Pough *et al.*, 2004) และงูไม่มีมดลูก (Mader, 1996)

ในงูเพศผู้ ฟอลลิเคิลสติมูเลติงฮอร์โมน (Follicle-stimulating hormone; FSH) กระตุ้นให้หลอดสร้างอสุจิเจริญและสร้างอสุจิ ส่วนลูทีไนซิงฮอร์โมน (Luteinizing hormone; LH) กระตุ้นเซลล์ลีดิก (Leydig cell) ที่อยู่ระหว่างท่อเซมินิเฟอรัส (seminiferous tubule) ให้เจริญและสร้างฮอร์โมนเทสโทสเตอโรน (testosterone) (อาจ, 2521) Shine (1977) ทำการศึกษาระบบสืบพันธุ์ของงูเพศผู้ในวงศ์อีลาพิตีในประเทศออสเตรเลีย พบว่าน้ำหนักของอวัยวะมีความสัมพันธ์กับปริมาณอสุจิในงูที่ออกลูกเป็นตัว 6 ชนิด คือ *Austrelaps superbus*, *Hemiaspis daemeli*, *H. signata*, *Notechis scutatus*, *Pseudechis porphyriacus* และ *Unechis gouldii* และงูที่ออกไข่ 2 ชนิด คือ *Pseudonaja nuchalis* และ *P. textilis* ซึ่งงูทั้ง 8 ชนิดที่ทำการศึกษาอยู่ในวงศ์อีลาพิตี ซึ่งเป็นวงศ์เดียวกับงูเห่า และงูจงอางที่พบในประเทศไทย

ไข่ถูกจัดเป็น 2 ระยะ คือระยะก่อนสะสมไข่แดง ไข่ขนาดเล็กมีสีขาว และระยะสะสมไข่แดง ไข่ขนาดใหญ่ขึ้นและมีสีเหลือง (Jacobson, 2007) ฟอลลิเคิลสติมูเลติงฮอร์โมน จากไฮโปทาลามัส (hypothalamus) กระตุ้นให้ฟอลลิเคิลเจริญและสร้างเอสตราไดโอด เอสตราไดโอด กระตุ้นการเจริญของเซลล์ไข่ (oocyte) และทำให้มีการสร้างไข่แดง (vitellogenesis) (Withers, 1992) เมื่อไข่สุก ลูทีไนซิงฮอร์โมนกระตุ้นการตกไข่ (นทีทิพย์, 2538) ฟอลลิเคิลซึ่งเปลี่ยนแปลงเป็นคอร์ปัสลูเตียม (corpus luteum) (Edwards and Jones, 2001) ทำหน้าที่ผลิตฮอร์โมนโปรเจสเตอโรน (progesterone) (Ragsdale *et al.*, 1993) โปรเจสเตอโรนมีหน้าที่ทำให้ผนังท่อนำไข่หนาตัวพร้อมสำหรับการตั้งท้อง (อาจ, 2521) ความเข้มข้นของโปรเจสเตอโรนในพลาสมาจะอยู่ในระดับปรกติจนกระทั่งเริ่มมีการตั้งครรภ์ (Edwards and Jones, 2001)

ก่อนเข้าสู่ฤดูผสมพันธุ์ งูเพศเมียสะสมไขมันจำนวนมากสำหรับสร้างพลังงานที่จะใช้ในการสืบพันธุ์ ต่างจากงูเพศผู้ที่ใช้พลังงานเพื่อสร้างตัวอสุจิ (Aubret *et al.*, 2002) เมื่อถึง ฤดูผสมพันธุ์แล้ว งูเพศเมียปล่อยฟีโรโมน (pheromone) ตามทางที่เลื้อยผ่านไป งูเพศผู้รับรู้ถึงฟีโรโมนที่งูเพศเมียปล่อยไว้ จะเลื้อยตามหางงูเพศเมีย เมื่อพบกัน งูจะแสดงพฤติกรรมเกี้ยวพาราสี โดยงูเพศผู้

เลี้ยงไปอยู่บนลำตัวของงูเทศเมีย (Parker, 1977) ใช้คางงูด้านหลังของงูเทศเมีย เพื่อกระตุ้นให้งูเทศเมียยอมรับการผสมพันธุ์ ในงูบางชนิดพฤติกรรมการเกี่ยวพาราสิช่วยกระตุ้นการตกไข่ ระดับทดสอบเทอโรนมีผลต่อการเกิดพฤติกรรมเกี่ยวพาราสิ (Aubret *et al.*, 2002) Parker (1977) กล่าวว่า การเกี่ยวพาราสิในงูสกุลบอ (*Boa*) และไพธอน (*Python*) จะแสดงพฤติกรรมการเกี่ยวพาราสิเช่นเดียวกับที่กล่าวมาแล้ว หลังจากนั้นงูเทศผู้ใช้คิงขาหลังงูเทศเมียเป็นการกระตุ้นการตอบสนองของงูเทศเมีย เมื่องูเทศเมียยอมรับการผสมพันธุ์จะยกหางขึ้น งูเทศผู้ใช้หางพันหางงูเทศเมียแล้วใช้ช่องเปิดทวารร่วมตะกัน โดยงูเทศผู้ใช้อวัยวะที่เรียกว่าเสมิเพนิสข้างหนึ่งสอดเข้าไปในทวารร่วมของงูเทศเมีย Pope (1956) กล่าวว่า การเลือกสอดเสมิเพนิสข้างใดนั้นขึ้นกับว่าข้างใดอยู่ใกล้เทศเมียมากกว่า และเสมิเพนิสของงูแต่ละชนิดมีรูปร่างแตกต่างกัน (ไพบูลย์, 2547)

งูส่วนใหญ่ผสมพันธุ์ปีละครั้ง บางชนิดผสมพันธุ์ในฤดูใบไม้ผลิ บางชนิดผสมพันธุ์ปลายฤดูร้อนหรือฤดูใบไม้ร่วง งูเทศเมียอาจผสมพันธุ์หลายครั้งกับงูเทศผู้ตัวเดิมหรือหลายตัว พฤติกรรมเช่นนี้ทำให้งูเทศเมียสามารถเก็บตัวอสุจิได้เพียงพอสำหรับปฏิสนธิกับเซลล์ไข่ และทำให้ลูกงูมีความหลากหลายของยีนสูง งูบางชนิดไม่สามารถผลิตลูกได้ทุกปีเพราะมีพลังงานที่ใช้ในการสืบพันธุ์จำกัด งูเทศเมียที่ออกลูกเป็นตัว (viviparous snake) ซึ่งอยู่ในช่วงที่มีตัวอ่อนเจริญอยู่ในท้องไม่กินอาหารแต่ใช้พลังงานจากไขมันและแหล่งพลังงานอื่นๆ ที่สะสมไว้ก่อนหน้านี้จนกระทั่งตกลูกออกมาจึงจะกินอาหารอีกครั้ง หากลูกงูเกิดในช่วงปลายฤดูร้อนหรือฤดูใบไม้ร่วง งูเทศเมียซึ่งชอบอมจะมีเวลาเพียงเล็กน้อยเพื่อสะสมอาหารก่อนการจำศีล (hibernation) และอาจต้องใช้เวลา 1 ปีหรือมากกว่าเพื่อสะสมพลังงานให้เพียงพอก่อนเข้าสู่วงจรการสืบพันธุ์ครั้งต่อไป งูเทศเมียบางชนิดไม่เข้าสู่ฤดูสืบพันธุ์ในปีที่ให้กำเนิดลูก ปกติงูเทศเมียสามารถเก็บอสุจิที่ได้รับจากการผสมพันธุ์กับงูเทศผู้โดยเก็บไว้ในเซมินัลรีเซพตาเคิล (seminal receptacle) ซึ่งอยู่ในผนังของท้องนำไข่ได้เป็นเวลาหลายปี เช่น งูอินดิโก (Indigo snake; *Drymarchon corais*) งูเทศเมียในกรงเลี้ยงวางไข่หลังการผสมพันธุ์ผ่านไป 4 ปี และไข่ยังได้รับการปฏิสนธิด้วย นอกจากนี้ งูคินธรรมดา (brahminy blind snake; *Ramphotyphlops braminus*) สามารถสืบพันธุ์โดยไม่ต้องได้รับการผสมพันธุ์จากงูเทศผู้ ซึ่งให้ลูกเทศเมียที่มีสารพันธุกรรมเหมือนแม่ทุกประการ กระบวนการนี้เกิดจากการสืบพันธุ์ไม่อาศัยเพศ (parthenogenesis) (Ernst and Zug, 1996)

ไข่งูมีสารอาหารเพียงพอสำหรับการเจริญของตัวอ่อน โดยได้รับความชื้นและออกซิเจนโดยการแพร่ผ่านทางเปลือกไข่ ในงูที่วางไข่ ไข่ใช้เวลาพักอยู่ภายนอกตัวแม่นาน โดยได้รับการปกป้องจากเปลือกไข่ งูวางไข่ในโพรงดินๆ และคลุมด้วยดินบางๆ นอกจากนี้ดินยังช่วย

ป้องกันความร้อนจากแสงอาทิตย์โดยตรงและช่วยควบคุมอุณหภูมิภายในรังจากอุณหภูมิที่ลดต่ำลงในเวลากลางคืน การเลือกสถานที่ทำรังเป็นสิ่งสำคัญมากเพราะมีผลต่ออัตราการเจริญของตัวอ่อน โดยขึ้นกับอุณหภูมิภายในรัง หนูหลายตัวอาจเลือกสถานที่เดียวกันเพื่อวางไข่ อาจพบไข่หลายร้อยฟองในสถานที่เดียวกัน ไข่ในเขตนาวมีอัตราการฟักต่ำจึงพบการแพร่กระจายของการวางไข่น้อย (Mader, 1996)

ไข่แดง (yolk) เป็นอาหารสำหรับการเจริญเติบโตของตัวอ่อน ขณะที่ตัวอ่อนพัฒนาใกล้สมบูรณ์ไข่แดงจะถูกดึงเข้าไปในช่องตัว ตัวอ่อนของงูกลุ่มที่ออกลูกเป็นไข่ (oviparous) มีฟันเจาะเปลือกไข่ (egg teeth) ฟันงอกมาจากเหงือกที่กระดูกขากรรไกรบน (premaxilla) ซึ่งอยู่ที่ปลายปากบนมีลักษณะคล้ายมีดโกน ส่วนงูกลุ่มที่ออกลูกเป็นตัว ฟันเจาะเปลือกไข่ไม่มีความจำเป็นและเป็นอันตรายต่อตัวแม่ แต่จะปรับตัวให้โค้งลงไปข้างหลัง และไม่ได้ทำหน้าที่ใดเลย (Parker, 1977) เอสโตรเจน ช่วยเสริมการเจริญเติบโตของลูกงูเพศเมีย การที่ลูกงูเพศผู้มีเอสโตรเจนและเทสโทสเตอโรนอยู่ในระดับปกติทำให้ลูกงูเจริญเติบโตมากที่สุด (Lerner and Mason, 2001) งูเพศเมียที่วางไข่ ไข่ที่ออกมาเจริญอย่างรวดเร็วภายใน 4-6 สัปดาห์ หลังวางไข่แม่งูสามารถกินอาหารได้อีกครั้ง และในทางกลับกันงูที่ออกลูกเป็นตัวต้องแบกน้ำหนักของลูก ทำให้งูไม่สามารถกินอาหารได้มากเป็นเวลา 2-3 เดือนก่อนตกลูก แม่งูสูญเสียพลังงานที่สะสมไว้ การเข้าสู่การสืบพันธุ์ครั้งต่อไปอาจใช้เวลา 1 ปี หรือมากกว่า (Ernst and Zug, 1996) งูแต่ละชนิดมีช่วงเวลาในการผสมพันธุ์วางไข่ และไข่ฟักแตกต่างกันไป (ตารางที่ 1)

ตารางที่ 1 ช่วงเวลาในการผสมพันธุ์ วางไข่ และไข่ฟักของงูพิษชนิดต่างๆ

ชนิด เดือน	ม.ค.	ก.พ.	มี.ค.	เม.ย.	พ.ค.	มิ.ย.	ก.ค.	ส.ค.	ก.ย.	ต.ค.	พ.ย.	ธ.ค.
	งูจงอาง (<i>Ophiophagus hannah</i>)											
งูเห่าไทย (<i>Naja kaouthia</i>)												
งูเห่าพ่นพิษสยาม (<i>Naja siamensis</i>)												
งูสามเหลี่ยม (<i>Bungarus fasciatus</i>)												
งูกะปะ (<i>Calloselasma rhodostoma</i>)												

	ช่วงผสมพันธุ์
	ช่วงวางไข่
	ช่วงฟักออกจากไข่

ที่มา: ดัดแปลงจาก Chanhom *et al.*, (2001)

อุปกรณ์และวิธีการ

อุปกรณ์

1. เข็มฉีดยาขนาด 21 ยาว 1 นิ้ว
2. กระบอกฉีดยา (syringe) ขนาด 3 มิลลิลิตร
3. เอฟเพนดรอพ (eppendorf)
4. เฮปาริน (heparin)
5. เครื่องหมุนเหวี่ยง (centrifuge)
6. ไมโครปิเปต (micropipet)
7. หลอดโพลีโพรไพลีนขนาด 12x75 มิลลิลิตร
8. ไดคลอโรมีเทน (dichloromethane)
9. ไดเอทิลอีเธอร์ (diethyl ether)
10. ก๊าซไนโตรเจน
11. ชุดทดสอบฮอร์โมนเทสโทสเตอโรน
12. ชุดทดสอบฮอร์โมนเอสตราไดออล
13. เวอร์เทคมิกซ์
14. เครื่องมือผ่าตัด
15. ถาดพาราฟิน
16. เครื่องเตรียมเนื้อเยื่ออัตโนมัติ (automatic tissue processor)
17. เครื่องตัดเนื้อเยื่อ (microtome)
18. อ่างลอยเนื้อเยื่อ (water bath)
19. ภาชนะสำหรับย้อมสี (jar)
20. สีฮีมาทอกซิลิน (haematoxylin)
21. สีอีโอซิน (eosin)

วิธีการ

1. การศึกษาระบบขับถ่ายสืบพันธุ์ (urogenital system)

การศึกษาระบบขับถ่ายสืบพันธุ์ ใช้งูเห่าไทยจากสถานเสาวภาผ่าตลอดความยาวลำตัวด้านท้อง กำจัดไขมันที่ปกคลุมอยู่ ออก ศึกษา ระบบขับถ่ายสืบพันธุ์ของงูเห่าไทย บันทึกภาพเพื่อวาดภาพลายเส้นแสดงรายละเอียดระบบขับถ่ายสืบพันธุ์

2. การตัดเนื้อเยื่อ (histological study)

ศึกษาเปรียบเทียบต่อมบ่งเพศ (gonads) ของงูเห่าไทยเพศผู้และเพศเมีย ตัวอย่างงูเห่าไทยจากสถานเสาวภา ใช้ต่อมบ่งเพศของงูเห่าไทยในเดือนพฤศจิกายน (เป็นตัวแทนต่อมบ่งเพศช่วงฤดูสืบพันธุ์) และใช้ต่อมบ่งเพศของงูเห่าไทยในเดือนพฤษภาคม (เป็นตัวแทนต่อมบ่งเพศนอกช่วงฤดูสืบพันธุ์) (Chanhome *et al.*, 2001) (ภาคผนวก ก)

3. การวิเคราะห์ฮอร์โมนในเลือด (radio immunoassay)

1. เก็บเลือดงูเห่าไทยของสถานเสาวภาโดยเจาะหลอดเลือดดำบริเวณหาง (ventral caudal vein) จำนวน 16 ตัว (ตัวผู้ 8 ตัว และตัวเมีย 8 ตัว) เป็นเวลา 1 ปี ตั้งแต่เดือนธันวาคม ถึงเดือนพฤศจิกายน สารป้องกันเลือดแข็งตัวคือเฮปาริน (ภาคผนวก ข)

2. ปั่นเหวี่ยงเลือดด้วยเครื่องหมุนเหวี่ยง แยกส่วนพลาสมา (plasma) เก็บไว้ที่อุณหภูมิ -70 องศาเซลเซียสเพื่อรอการวิเคราะห์ฮอร์โมน

3. นำพลาสมาของงูเห่าไทยเพศเมียสกัดฮอร์โมนเอสตราไดออล (ภาคผนวก ค)

4. นำพลาสมาของงูเห่าไทยเพศผู้สกัดฮอร์โมนเทสโทสเตอโรน (ภาคผนวก ง)

5. วิเคราะห์ฮอร์โมนเอสตราไดออลด้วยวิธีเรดิโออิมมูโนเอสเสย์ (radioimmunoassay) (ภาคผนวก จ)

6. วิเคราะห์ฮอร์โมนเทสโทสเตอโรน ด้วยวิธีเรดิโออิมมูโนเอสเสย์ (radioimmunoassay) (ภาคผนวก ฉ)

4. การวิเคราะห์ข้อมูลทางสถิติ (Statistical analyses)

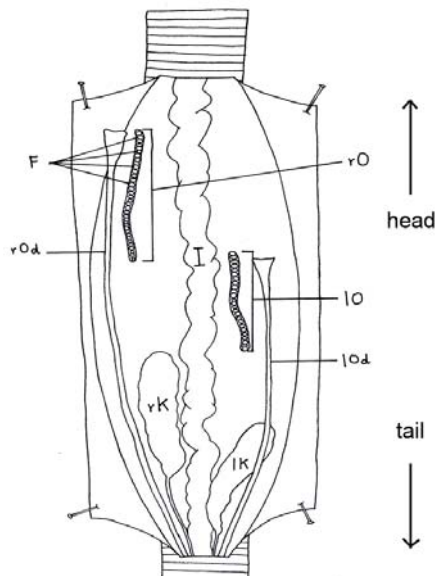
ข้อมูลทั้งหมดแสดงในรูปค่าเฉลี่ยและค่าความคลาดเคลื่อนมาตรฐาน ($\bar{X} \pm S.E.$) วิเคราะห์ความแปรปรวน (ANOVA; analysis of Variance) ของข้อมูลด้วยวิธี Kruskal-Wallis H test ที่ $P < 0.05$ และทดสอบความแตกต่างระหว่างค่ากลาง (median) ของแต่ละกลุ่มข้อมูลด้วยวิธี Mann-Whitney U test ที่ $P < 0.05$ โดยใช้โปรแกรมสำเร็จรูป SPSS รุ่น 16

ผลและวิจารณ์

ผล

1. มหกายวิภาคระบบขับถ่ายสืบพันธุ์ (urogenital system) ของงูเห่าไทยเทศเมีย

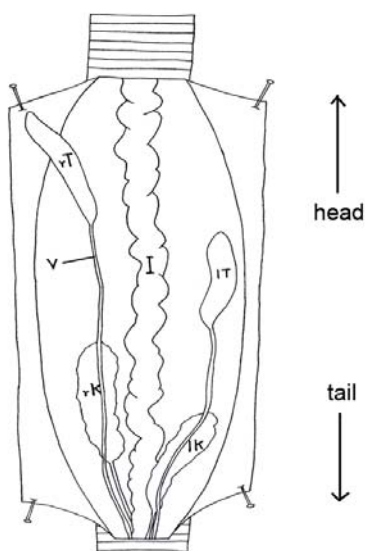
ระบบสืบพันธุ์ของงูเห่าไทยเทศเมียประกอบด้วยรังไข่ (ovary) ท่อนำไข่ (oviduct) และ ทวารร่วม (cloaca) รังไข่สองข้างมีลักษณะเป็นถุงยาวรีสีขาวอยู่เหนือไต โดยรังไข่ข้างขวายู่หน้า (anterior) กว่าและยาวมากกว่าข้างซ้าย และฟอลลิเคิล (follicles) มองเห็นด้วยตาเปล่า ส่วนท่อนำไข่ เป็นท่อยาวไปเปิดออกที่รูสืบพันธุ์ (genital pore) อยู่ตรงปลายของปุ่มสืบพันธุ์ (genital papilla) ตรง บริเวณทวารร่วม ส่วนระบบขับถ่ายของงูเห่าไทยเทศเมียประกอบด้วยไต 2 ข้าง ท่อไต และ ทวารร่วม ไตงูเห่าไทยสีน้ำตาลคล้ำโดยไตข้างขวาวางตัวอยู่ในแนวด้านหน้ากว่าไตข้างซ้ายและไป เปิดออกที่ทวารร่วมตรงปุ่มขับถ่าย (urinary papilla) บริเวณยูโรโปเดียม (uropodeum) ของ ทวารร่วม(ภาพที่ 1)



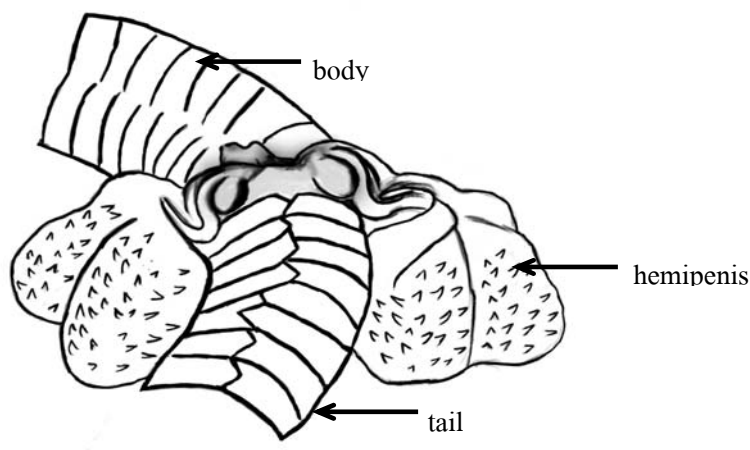
ภาพที่ 1 ระบบขับถ่ายสืบพันธุ์ของงูเห่าไทยเทศเมีย: รังไข่ข้างขวา (rO, right ovary); รังไข่ข้างซ้าย (lO, left ovary); ท่อนำไข่ข้างขวา (rOd, right oviduct); ท่อนำไข่ข้างซ้าย (lOd, left oviduct); ไตข้างขวา (rK, right kidney); ไตข้างซ้าย (lK, left kidney) และฟอลลิเคิล (F, follicles)

2. มหกายวิภาค (gross anatomy) ระบบขับถ่ายสืบพันธุ์งูเห่าไทยเพศผู้

ระบบสืบพันธุ์งูเห่าไทยเพศผู้ ประกอบด้วยอัณฑะ (testis) 1 คู่ หลอดนำอสุจิ (vas deferens) และฮีมิเพนิส (hemipenes) 2 อัน อัณฑะรูปยาวรีสีขาว ข้างขวาอยู่หน้ากว่าและยาวมากกว่าข้างซ้าย หลอดนำอสุจิออกจากอัณฑะ ทอดตัวติดกับไต และไปเปิดที่ฮีมิเพนิสซึ่งเป็นอวัยวะที่ใช้ในการฉีดน้ำเชื้อ เปลี่ยนแปลงมาจากส่วนพรอคโตเดียม (proctodaeum) ของทวารร่วม พบเฉพาะในงูและกิ้งก่าที่โคนหาง เก็บเข้าร่างกายได้โดยการม้วนเข้า (invaginate) เวลาผสมพันธุ์ ใช้ฮีมิเพนิสเพียงข้างเดียว ส่วนระบบขับถ่ายของงูเห่าไทยเพศผู้ประกอบด้วยไต 2 ข้าง ท่อไต และทวารร่วม ไตงูเห่ามีสีน้ำตาลคล้ำ ข้างขวาวางตัวหน้ากว่าข้างซ้าย เปิดออกที่ทวารร่วมตรงบริเวณปุ่มขับถ่าย (urinary papilla) (ภาพที่ 2) เมื่อฉีดน้ำเข้าโคนหาง พบว่าฮีมิเพนิสรูปร่างค่อนข้างกลม มีร่อง (falk) ปกคลุมด้วยหนาม (spine) จำนวนมาก (ภาพที่ 3) การที่ผู้ศึกษาทำการฉีดน้ำเข้าไปในฮีมิเพนิส เพราะเราสามารถใช้ลักษณะของฮีมิเพนิสในการจำแนกชนิดของงูได้ ฮีมิเพนิสในกลุ่มงูเห่าจะแตกต่างกับงูกลุ่มอื่นๆ รูปร่างของฮีมิเพนิสแตกต่างกันในงูแต่ละชนิด



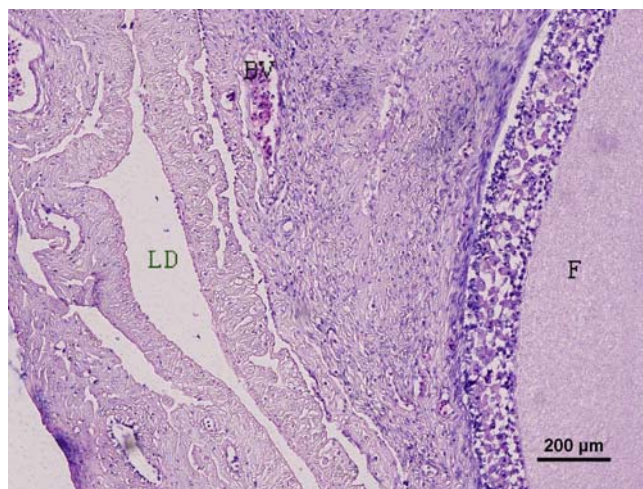
ภาพที่ 2 ระบบขับถ่ายและสืบพันธุ์ของงูเห่าไทยเพศผู้: อัณฑะข้างขวา (rT, right testis) อัณฑะข้างซ้าย (IT, left testis) หลอดนำอสุจิ (v, vas deferens) ไตข้างขวา (rK, right kidney) และ ไตข้างซ้าย (IK, left kidney)



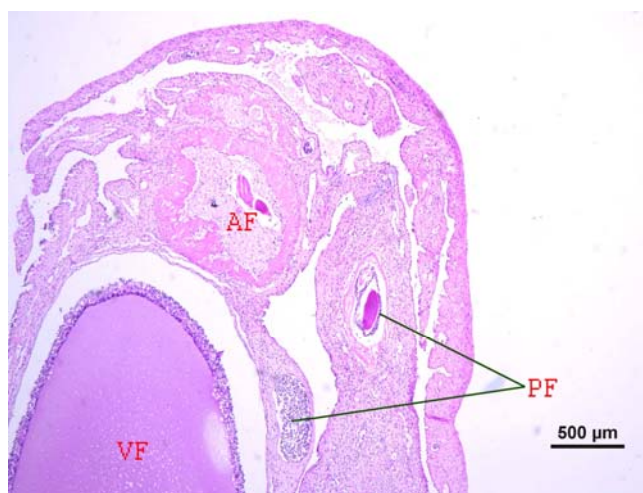
ภาพที่ 3 เอมิเพนิสของงูเห่าไทย เมื่อนิดน้ำเข้าโคนหาง

3. จุลกายวิภาคศาสตร์ (microanatomy) ระบบสืบพันธุ์ของงูเห่าเทศเมีย

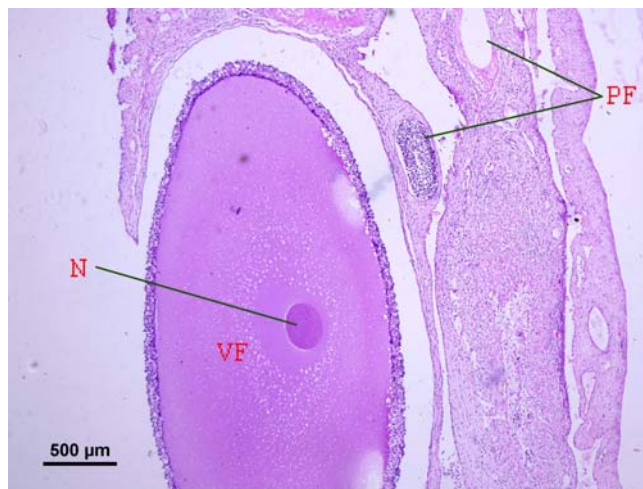
จากการศึกษาทางจุลกายวิภาครังไข่ของงูเห่าไทย พบฟอลลิเคิลเจริญอยู่ภายในรังไข่ มีท่อเลือดและท่อน้ำเหลืองมาเลี้ยง (ภาพที่ 4) ฟอลลิเคิลแบ่งตามระยะการเจริญออกเป็น 2 ชนิดคือ ฟอลลิเคิลระยะก่อนสะสมไข่แดงและฟอลลิเคิลระยะสะสมไข่แดง ซึ่งมีขนาดแตกต่างกันอย่างชัดเจน ฟอลลิเคิลฝ่อเรียกว่าอะทรีติกฟอลลิเคิล (atretic follicle) (ภาพที่ 5 และ 6) ฟอลลิเคิลประกอบด้วยโอโอไซต์ (oocyte) และ เซลล์แกรนูโลซา (granulosa cell) ซึ่งแบ่งย่อยออกเป็นเซลล์ขนาดเล็ก (small cell) ขนาดกลาง (intermediate cell) และขนาดใหญ่ (pyriform cell) ต่อมาถูกล้อมด้วยเซลล์ทีกา (Theca cell) จากนั้นมีการสะสมไข่แดง (yolk) เป็นแก๊ตกระจายในไซโทพลาซึม (cytoplasm) (ภาพที่ 7 และ 8) ลักษณะของคอร์ปัสลูเทียม (corpus luteum) ไซโทพลาซึมเป็นฟองนิวเคลียส (nucleus) ข้อมติคสีน้ำเงินอยู่ริมเซลล์ (ภาพที่ 9)



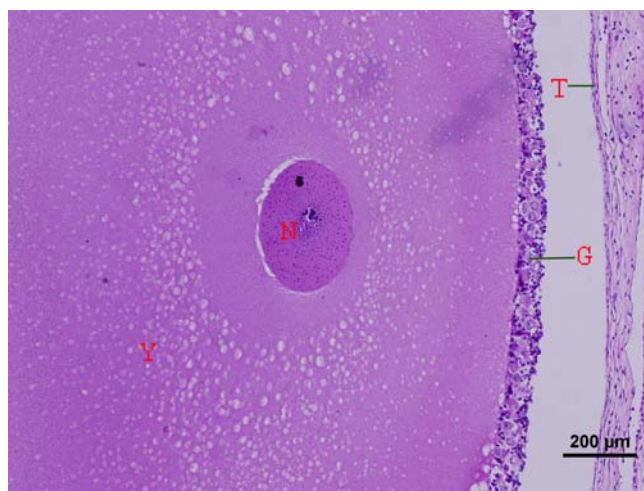
ภาพที่ 4 แสดงท่อเลือด ท่อน้ำเหลืองบริเวณรังไข่: ฟอลลิเคิล (F; follicle); ท่อเลือด (BV, blood vessel); ท่อน้ำเหลือง (LD, lymphatic duct) (H&E x100)



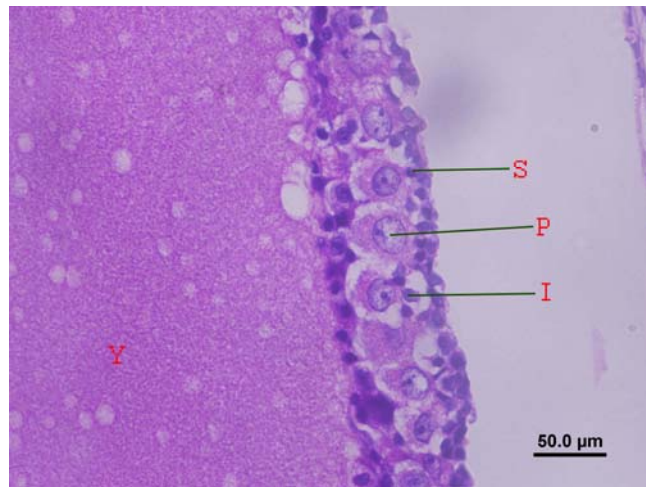
ภาพที่ 5 ฟอลลิเคิลของงูเห่าไทย 2 ชนิด: ฟอลลิเคิลระยะก่อนสะสมไข่แดง (PF, previtellogenic follicle); ฟอลลิเคิลระยะสะสมไข่แดง (VF, vitellogenic follicle); ฟอลลิเคิลฝ่อ (AF, atretic follicle) (H&E x40)



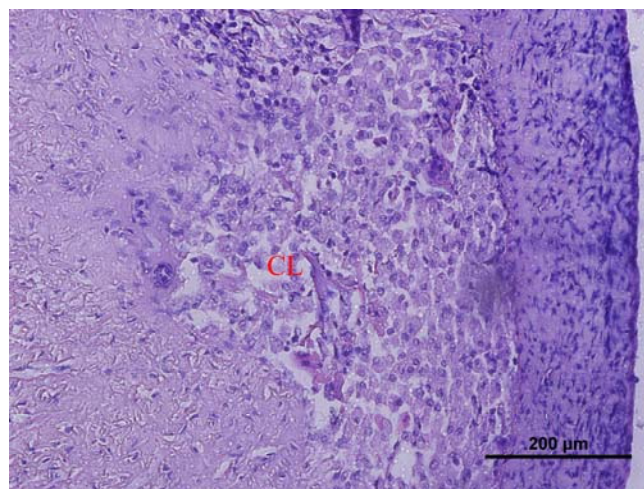
ภาพที่ 6 เปรียบเทียบขนาดของฟอลลิเคิลระยะก่อนสะสมไข่แดง (PF, previtellogenic follicle) และระยะสะสมไข่แดง (VF, vitellogenic follicle) นิวเคลียสของโอโอไซต์ (N, nucleus) (H&E x 40)



ภาพที่ 7 แสดงส่วนประกอบของฟอลลิเคิล: นิวเคลียสของโอโอไซต์ (N, nucleus) และเซลล์แกรนูโลซา (G, granulosa cell) ซึ่งล้อมรอบด้วยเซลล์ทีกา (T, Theca cell) และมีการสะสมไข่แดง (Y, yolk) (H&E x 100)



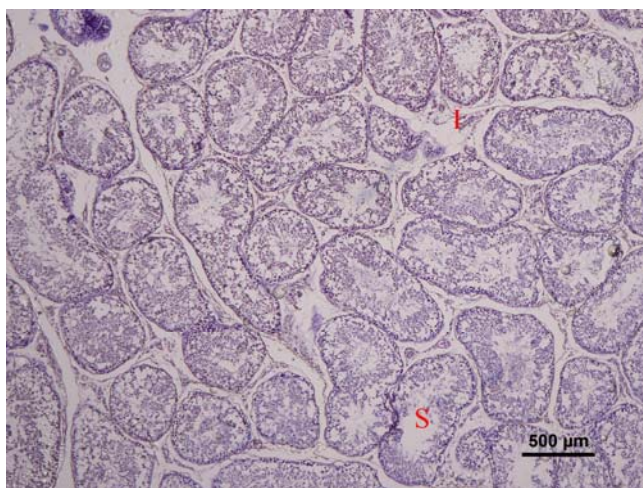
ภาพที่ 8 แสดงเซลล์แกรนูโลซา 3 ชนิด: ขนาดเล็ก (S, small cell); ขนาดกลาง (I, intermediate cell); และขนาดใหญ่ (P, pyriform cell) (H&E x 400)



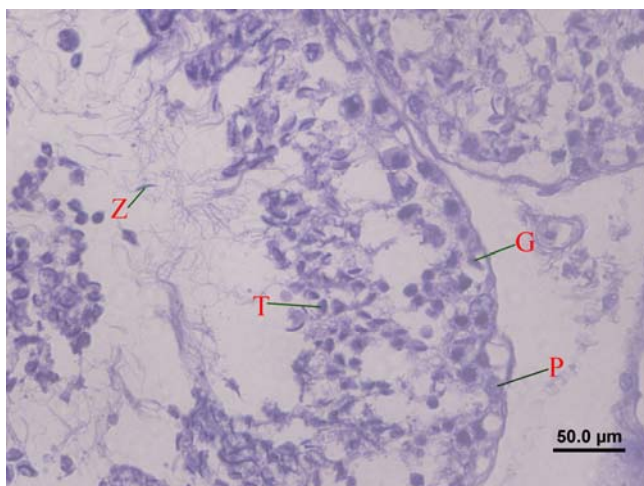
ภาพที่ 9 คอร์ปัสลูเตียม (CL; corpus luteum) พบในตัวอย่างที่เก็บในเดือนพฤศจิกายน (H&E x 200)

4. จุลกายวิภาคศาสตร์ระบบสืบพันธุ์ของงูเห่าเพศผู้

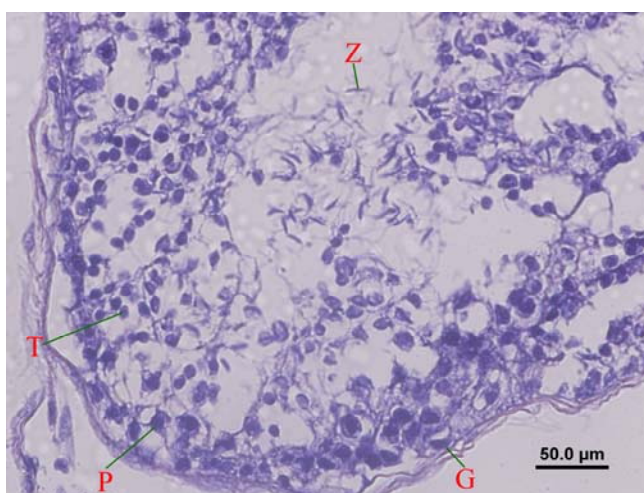
ระบบสืบพันธุ์ของงูเห่าประกอบด้วย อัณฑะและท่อสืบพันธุ์ ได้แก่ ดักตัสเอเฟอเรนส์ (ductus efferens) เอพิดิไคมิส และหลอดนำอสุจิ ภายในอัณฑะประกอบด้วยท่อเซมินิเฟอร์รัสที่อยู่แน่น ภายนอกท่อ มีเซลล์ลึยคิก หรือเซลล์อินเตอร์สติเชียล (interstitial cell) (ภาพที่ 10) การเจริญของเซลล์อสุจิภายในท่อเซมินิเฟอร์รัสระยะต่างๆ เซลล์ต้นกำเนิดตัวอสุจิ เซลล์อสุจิปฐมภูมิ สเปิร์มมาติด และตัวอสุจิ จากการศึกษาทางจุลกายวิภาคเอพิดิไคมิส(epididymis) และทื่อดักตัสเอเฟอเรนส์ของงูเห่าไทยที่เลี้ยงในกรงเลี้ยงในเดือนพฤษภาคม และเดือนพฤศจิกายน พบว่าไม่มีความแตกต่างกันทางจุลกายวิภาคของเอพิดิไคมิส และกลุ่มทื่อดักตัสเอเฟอเรนส์ (ภาพที่ 12 และ 13)



ภาพที่ 10 แสดงภาพตัดขวางอัณฑะ: เซลล์อินเตอร์สติเชียล (I, interstitial cell); เซมินิเฟอร์รัส (S, seminiferous tubule) (H& E x40)

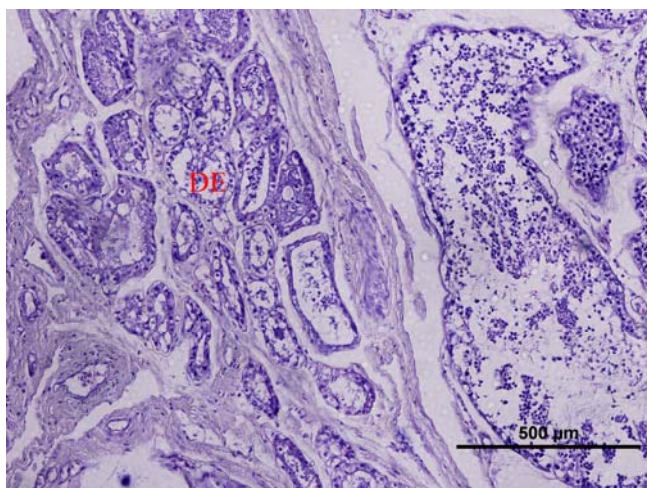


A

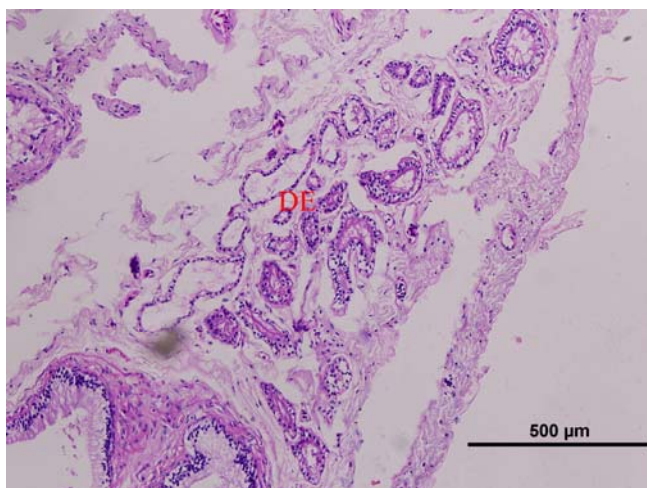


B

ภาพที่ 11 แสดงการเจริญของเซลล์อสุจิภายในท่อเซมินิเฟอรัส A คือท่อเซมินิเฟอรัสจากอวัยวะที่เก็บในเดือนพฤษภาคม B คือท่อเซมินิเฟอรัสจากอวัยวะที่เก็บในเดือนพฤศจิกายน
กระบวนการสร้างอสุจิภายในท่อเซมินิเฟอรัส: เซลล์ต้นกำเนิดตัวอสุจิ (G, spermatogonium); เซลล์อสุจิปฐมภูมิ (P, primary spermatocyte); สเปออร์มาติด (T, spermatid) และตัวอสุจิ (Z, sperm): (H & E, x400)

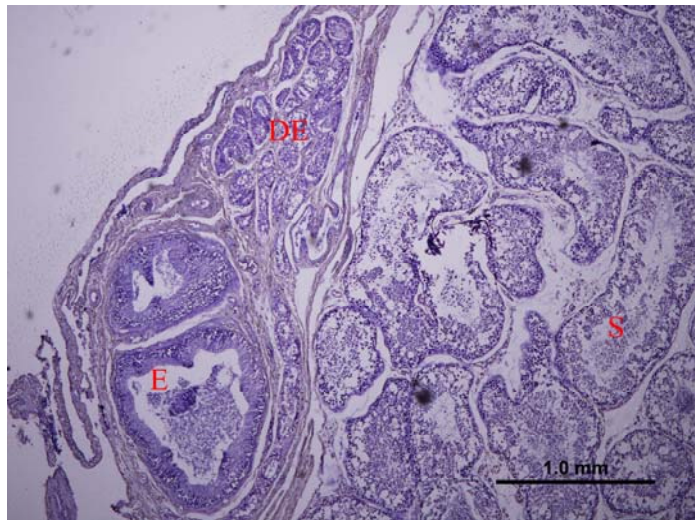


A

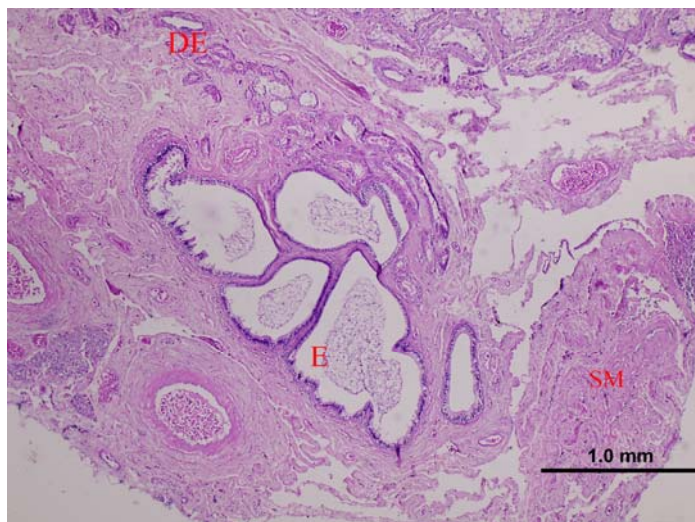


B

ภาพที่ 12 แสดงกลุ่มท่อคัดตัสเอฟเฟอเรนส์ A คือท่อคัดตัสเอฟเฟอเรนส์ (DE; ductus efferens) จากอวัยวะที่เก็บในเดือนพฤษภาคม B คือท่อคัดตัสเอฟเฟอเรนส์จากอวัยวะที่เก็บในเดือนพฤศจิกายน (H&E; x 100)



A



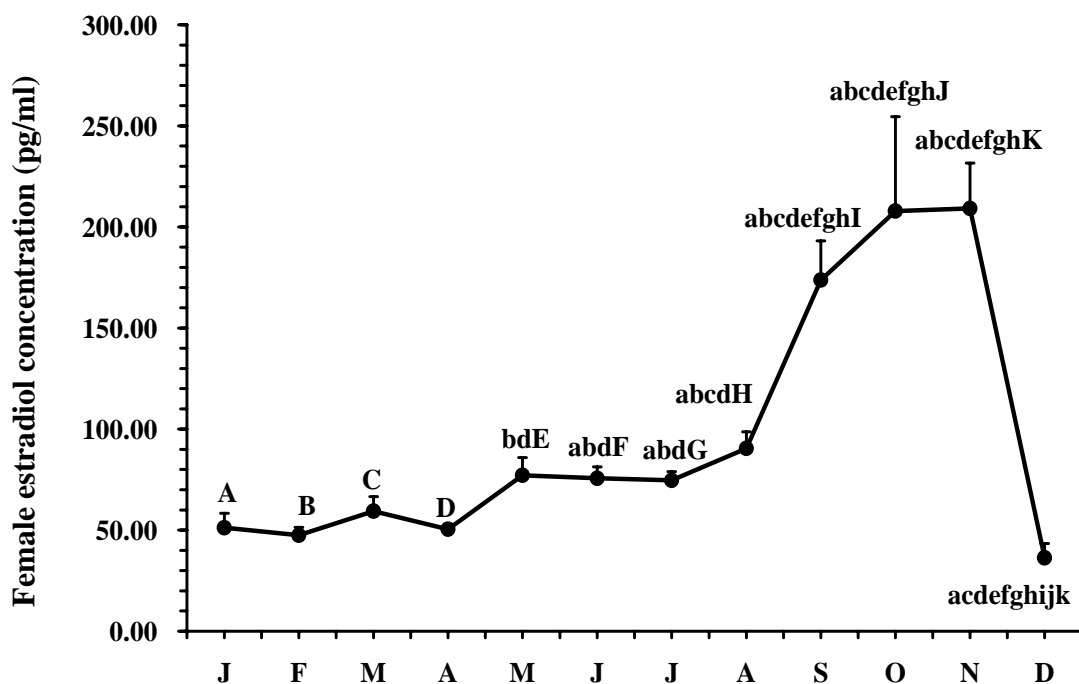
B

ภาพที่ 13 แสดงเอพิไดไมซิส A คือเอพิไดไมซิส (E; epididymis) ที่เก็บในเดือนพฤษภาคม B คือเอพิไดไมซิสที่เก็บในเดือนพฤศจิกายน เอพิไดไมซิสอยู่ใกล้กับกลุ่มท่อคัดตัสเอฟเฟอเรนส์ (DE; ductus efferens) อันตะของเดือนกันยายนพบกล้ามเนื้อเรียบ (SM; smooth muscle) ใกล้กับ เอพิไดไมซิส (H& E; x 40)

5. รูปแบบการคัดหลังเอสตราไดออลของงูเห่าเทศเมียในรอบปี

การเปลี่ยนแปลงระดับฮอร์โมนเอสตราไดออลของงูเห่าเทศเมียในรอบปี (Fig. 14) ค่าเฉลี่ยฮอร์โมนเอสตราไดออลของงูเห่าเทศเมียมีความแตกต่างกันในแต่ละเดือน (Kruskal Wallis H test; $P \leq 0.05$, $\chi^2 = 74.23$): เดือนมกราคมแตกต่างกับเดือนพฤษภาคม, มิถุนายน, กรกฎาคม, สิงหาคม, กันยายน, ตุลาคม พฤศจิกายนและธันวาคม (Mann-Whitney U test; $P = 0.028, 0.015, 0.021, 0.005, 0.0001, 0.0001, 0.0001$ และ 0.038 ตามลำดับ) เดือนกุมภาพันธ์แตกต่างกับเดือนพฤษภาคม, มิถุนายน, กรกฎาคม, สิงหาคม, กันยายน, ตุลาคม และพฤศจิกายน (Mann-Whitney U test; $P = 0.002, 0.003, 0.0001, 0.0001, 0.0001, 0.0001$ และ 0.0001 ตามลำดับ) เดือนมีนาคมแตกต่างกับเดือนสิงหาคม, กันยายน, ตุลาคม, พฤศจิกายน และธันวาคม (Mann-Whitney U test; $P = 0.015, 0.0001, 0.0001, 0.0001$ และ 0.038 ตามลำดับ) เดือนเมษายนแตกต่างกับเดือนพฤษภาคม, มิถุนายน, กรกฎาคม, สิงหาคม, กันยายน, ตุลาคม, พฤศจิกายน และธันวาคม (Mann-Whitney U test; $P = 0.001, 0.001, 0.001, 0.0001, 0.0001, 0.0001, 0.0001$ และ 0.01 ตามลำดับ) เดือนพฤษภาคมแตกต่างกับเดือนกันยายน, ตุลาคม, พฤศจิกายน และธันวาคม (Mann-Whitney U test; $P = 0.001, 0.0001, 0.0001$ และ 0.003 ตามลำดับ) เดือนมิถุนายนแตกต่างกับเดือนกันยายน, ตุลาคม, พฤศจิกายน และธันวาคม (Mann-Whitney U test; $P = 0.0001, 0.0001, 0.0001$ และ 0.003 ตามลำดับ) เดือนกรกฎาคมแตกต่างกับเดือนกันยายน, ตุลาคม, พฤศจิกายน และธันวาคม (Mann-Whitney U test; $P = 0.0001, 0.0001, 0.0001$ และ 0.003 ตามลำดับ) เดือนสิงหาคมแตกต่างกับเดือนกันยายน, ตุลาคม, พฤศจิกายน และธันวาคม (Mann-Whitney U test; $P = 0.002, 0.0001, 0.0001$ และ 0.001 ตามลำดับ) เดือนกันยายนแตกต่างกับเดือนธันวาคม (Mann-Whitney U test; $P = 0.0001$) เดือนตุลาคมแตกต่างกับเดือนธันวาคม (Mann-Whitney U test; $P = 0.0001$) เดือนพฤศจิกายนแตกต่างกับเดือนธันวาคม (Mann-Whitney U test; $P = 0.0001$)

ความเข้มข้นของฮอร์โมนเอสตราไดออลเฉลี่ยในแต่ละเดือนค่อยๆ เพิ่มขึ้นจากเดือนมกราคม เพิ่มขึ้นอย่างเฉียบพลันในเดือนกันยายน มีค่ามากที่สุดในเดือนตุลาคมและพฤศจิกายน และลดลงอย่างรวดเร็วจนถึงระดับต่ำสุดในเดือนธันวาคม



A,a; B,b; C,c; D,d; E,e; F,f; G,g; H,h; I,i; J,j and K,k; อักษรพิมพ์ใหญ่และพิมพ์เล็กของพยัญชนะเดียวกันแสดงความต่างกันอย่างมีนัยสำคัญทางสถิติที่ $P \leq 0.05$.

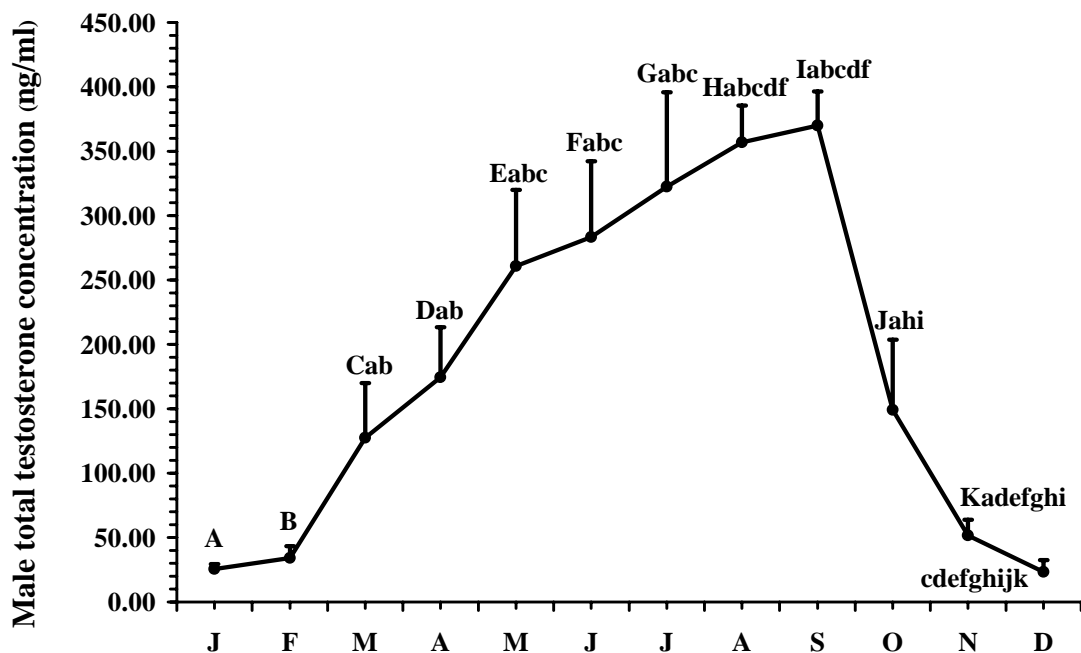
ภาพที่ 14 ระดับความเข้มข้นของฮอร์โมนเอสตราไดออล ($\bar{x} \pm$ S.E.) ของงูเห่าเทศเมียในกรงเลี้ยงรอบปี: J-D แสดงถึง เดือนมกราคม-ธันวาคม

6. รูปแบบการคัดหลังทดสอบทดสอบโรนงูเห่าเทศผู้ในรอบปี

การเปลี่ยนแปลงระดับฮอร์โมนเทสโทสเตอโรนของงูเห่าเทศผู้ในรอบปี (Fig. 15) ค่าเฉลี่ยฮอร์โมนเทสโทสเตอโรนของงูเห่าเทศผู้มีความแตกต่างกันในแต่ละเดือน (Kruskal Wallis H test; $P \leq 0.05$, $\chi^2 = 59.53$): เดือนมกราคมแตกต่างกับเดือนมีนาคม เมษายน พฤษภาคม มิถุนายน กรกฎาคม สิงหาคม กันยายน ตุลาคม และพฤศจิกายน (Mann-Whitney U test; $P = 0.002, 0.001, 0.001, 0.001, 0.001, 0.002, 0.002, 0.029$ และ 0.045 ตามลำดับ) เดือนกุมภาพันธ์แตกต่างกับเดือนมีนาคม เมษายน พฤษภาคม มิถุนายน กรกฎาคม สิงหาคม และกันยายน (Mann-Whitney U test; $P = 0.021, 0.001, 0.001, 0.001, 0.001, 0.002$ และ 0.002 ตามลำดับ) เดือนมีนาคมแตกต่างกับเดือน พฤษภาคม, กรกฎาคม, สิงหาคม, กันยายน และธันวาคม (Mann-Whitney U test; $P = 0.038, 0.038, 0.021, 0.019, 0.011$ และ 0.005 ตามลำดับ) เดือนเมษายนแตกต่างกับเดือนสิงหาคม, กันยายน,

พฤศจิกายน และ ธันวาคม (Mann-Whitney U test; $P = 0.019, 0.011, 0.019$ และ 0.001 ตามลำดับ) เดือนพฤษภาคมแตกต่างกับเดือนพฤศจิกายน และเดือนธันวาคม (Mann-Whitney U test; $P = 0.003$ และ 0.001 ตามลำดับ) เดือนมิถุนายนแตกต่างกับเดือนสิงหาคม, กันยายน, พฤศจิกายน และ ธันวาคม (Mann-Whitney U test; $P = 0.045, 0.03, 0.002$ และ 0.001 ตามลำดับ) เดือนกรกฎาคมแตกต่างกับเดือนพฤศจิกายน และเดือนธันวาคม (Mann-Whitney U test; $P = 0.002$ และ 0.001 ตามลำดับ) เดือนสิงหาคมแตกต่างกับเดือนตุลาคม, พฤศจิกายน และ ธันวาคม (Mann-Whitney U test; $P = 0.018, 0.008$ และ 0.002 ตามลำดับ) เดือนกันยายนแตกต่างกับเดือนตุลาคม, พฤศจิกายน และ ธันวาคม (Mann-Whitney U test; $P = 0.005, 0.008$ และ 0.002 ตามลำดับ) เดือนตุลาคมแตกต่างกับเดือนธันวาคม (Mann-Whitney U test; $P = 0.009$) เดือนพฤศจิกายนแตกต่างกับเดือนธันวาคม (Mann-Whitney U test; $P = 0.03$)

ความเข้มข้นของฮอร์โมนเทสโทสเตอโรนเฉลี่ยในแต่ละเดือนค่อยๆ เพิ่มขึ้นจากเดือนมกราคม และมีค่ามากที่สุดในเดือนกันยายน แล้วลดลงอย่างรวดเร็วจนถึงระดับต่ำสุดในเดือนธันวาคม



A,a; B,b; C,c; D,d; E,e; F,f; G,g; H,h; I,i; J,j and K,k; อักษรพิมพ์ใหญ่และเล็กพิมพ์ของพยัญชนะเดียวกันแสดงความต่างกันอย่างมีนัยสำคัญทางสถิติที่ $P < 0.05$.

ภาพที่ 15 ระดับความเข้มข้นของฮอร์โมนเทสโทสเตอโรน ($\bar{x} \pm S.E.$) ของงูเห่าเพศผู้ในกรงเลี้ยงรอบปี: J-D แสดงถึง เดือนมกราคม-ธันวาคม

วิจารณ์

1. ชีวิตวิทยาระบบขับถ่ายสืบพันธุ์งูเห่าไทยเทศเมีย

จากการศึกษาครั้งนี้พบว่ารังไข่ของงูเห่าไทยเป็นรูปยาวรี ข้างขวาใหญ่กว่า และอยู่หน้ากว่าข้างซ้าย สันนิษฐานว่าเป็นไปได้ว่าเป็นการปรับตัวอย่างหนึ่งของงูให้เหมาะสมกับรูปร่างที่เพรียวยาว สอดคล้องกันกับที่รายงานไว้มากมายในชนิดต่างๆ เช่น งู *Thamnophis radix* (Cieslak, 1945) งู *Xenochrophis vittata* (Bergman, 1951) งู *Natrix sipedon* (Bragdon, 1953) งู *N. rhombifera* (Betz, 1963) และงู *Ptyas mucosus* (Das, 1960) ส่วนสัตว์เลื้อยคลานอื่นๆ มีรายงานไว้แตกต่างกันออกไป โดย Parker (1931) รายงานไว้ว่ารังไข่ 2 ข้างของเต่าอยู่ในระดับตำแหน่งเท่ากัน และในกิ้งก่าบางชนิดเช่น *Crotaphylus collaris*, *Eumeces obsoletus*, *Gerrhonotus liocephalus infernalis* และ *Cnemidophorus sackii gularis* รังไข่ซ้ายและขวาก็อยู่ในตำแหน่งเท่ากันเช่นกัน (Brooks, 1906) ส่วนในนก วิริยฤทธิ์ (2528) รายงานไว้ว่ารังไข่และท่อหน้าไข่ของนกส่วนมากเหลือแค่ข้างซ้ายข้างเดียวที่พัฒนาขึ้นมาส่วนข้างขวาลดรูปไป ในทำนองเดียวกันกับไตข้างขวาวางตัวอยู่ด้านหน้า (anterior) กว่าด้านซ้าย เพื่อให้เหมาะสมกับรูปร่างเพรียวยาว ไตงูเป็นแบบมีโซเนฟรอส (mesonephros) (Porter, 1972) ความยาวไตกินพื้นที่ประมาณ 10-15% ของความยาวลำตัว (Mader, 2006)

2. ชีวิตวิทยาระบบขับถ่ายสืบพันธุ์งูเห่าไทยเทศผู้

จากการศึกษาครั้งนี้พบว่าอวัยวะของงูเห่าไทยเป็นรูปยาวรี ข้างขวาใหญ่กว่าและอยู่หน้ากว่าข้างซ้ายเช่นเดียวกับของเทศเมีย Huang (1983) กล่าวว่ากิ้งก่าและงูทั่วไปมีอวัยวะข้างขวายาวกว่า และอยู่หน้า (anterior) กว่าข้างซ้าย แต่มีบางชนิดที่อวัยวะข้างซ้ายอยู่หน้ากว่าข้างขวา เช่น *Eumeces obsoletus* และ *Crotaphytus collaris* (Brooks, 1906) เช่นเดียวกับในกิ้งก่าคิ้วทุกชนิด อวัยวะข้างขวาวางตัวอยู่หน้ากว่าข้างซ้าย (Gans, 1977) อย่างไรก็ตามอวัยวะของกิ้งก่า *Agama tuberculata* วางตัวอยู่ในระดับเดียวกัน (Duda, 1972) การที่อวัยวะสองข้างอยู่เยื้องกันอาจเป็นการปรับตัวให้เหมาะสมกับรูปร่างที่เพรียวยาว และขนาดอวัยวะของงูขึ้นอยู่กับช่วงเวลาที่มีกระบวนการสร้างตัวสุจิ โดยอวัยวะชนิดที่มีการจำศีลมีขนาดใหญ่ที่สุดในช่วงออกจำศีลตรงกับฤดูใบไม้ผลิ (Jacobson, 2007)

3. จุลกายวิภาคระบบสืบพันธุ์งูเห่าไทยเพศเมีย

จากการศึกษาครั้งนี้จำแนกฟอลลิเคิลได้ 2 กลุ่ม คือฟอลลิเคิลกลุ่มระยะก่อนสะสมไข่แดง และกลุ่มระยะสะสมไข่แดงในงูเห่าไทยที่เก็บตัวอย่างศึกษาทั้งในเดือนพฤษภาคมและเดือนพฤศจิกายน การเจริญของฟอลลิเคิลแปรผันตามฤดูกาล กลุ่มฟอลลิเคิลสามารถจำแนกได้โดยการสังเกตสีและขนาดของฟอลลิเคิล และพบคอร์ปัสลูเทียมในรังไข่งูเห่าเพศเมียที่เก็บในเดือนพฤศจิกายน แต่ไม่พบในเดือนพฤษภาคม ซึ่งตรงกับแนวคิดของ Jacobson (2007) กล่าวไว้ว่าคอร์ปัสลูเทียมซึ่งเกิดจากการตกไข่จะเกิดขึ้นเฉพาะช่วงเดือนที่คาดว่าเป็นฤดูผสมพันธุ์เท่านั้น

4. จุลกายวิภาคระบบสืบพันธุ์งูเห่าไทยเพศผู้

อวัยวะของงูเห่าไทยประกอบด้วยท่อเซมินิเฟอร์มาทามาภายในท่อมีตัวอสุจิระยะต่างๆ ลักษณะของเซลล์สเปิร์มาโทเจนิกระยะต่างๆ ที่พบในงูเห่าไทยไม่ต่างจากในสัตว์เลื้อยคลานด้วยนม (Junqueira *et al.*, 1986) การวิจัยครั้งนี้ พบลักษณะท่อบดด้วยเซลล์ที่มีขน ซึ่งเป็นลักษณะใกล้เคียงกับเอพิดิไดมิส (Jacobson, 2007) รอบท่อเอพิดิไดมิสของงูเห่าไทยที่เก็บในเดือนพฤศจิกายนมีกล้ามเนื้อเรียบเรียงล้อมอยู่ สันนิษฐานว่าใช้ในการบีบไล่เชื้ออสุจิให้ผ่านหลอดนำอสุจิไปที่เซมิเพนิส ในขณะที่ Mader (1996) รายงานว่างูไม่มีเอพิดิไดมิส แต่มีหลอดนำอสุจินำอสุจิเข้าสู่เซมิเพนิสซึ่งอยู่ในโคนหาง

5. รูปแบบการคัดหลังฮอร์โมนเอสตราไดออลในรอบปี

ระดับความเข้มข้นเฉลี่ยของเอสตราไดออลในพลาสมางูเห่าไทยเพศเมียสูงสุดในเดือนตุลาคมและพฤศจิกายน เป็นไปได้ว่าฤดูสืบพันธุ์น่าจะอยู่ในช่วงเดือนพฤศจิกายน แม้ไม่สามารถศึกษาพฤติกรรมสืบพันธุ์ในกรงเลี้ยงอันเนื่องมาจากอุณหภูมิในกรงเลี้ยงต่ำ กระทั่งต่อเมแทบอลิซึมของงูเห่าในกรงเลี้ยง สอดคล้องกับที่ Chanhome และคณะ (2001) รายงานไว้ว่างูเห่าไทยมีฤดูสืบพันธุ์ประมาณเดือนพฤศจิกายน-มกราคม

6. รูปแบบการคัดหลังฮอร์โมนเทสโทสเตอโรนในรอบปี

ความเข้มข้นเฉลี่ยของเทสโทสเตอโรนในพลาสมาของงูเห่าไทยเพศผู้สูงสุดในเดือนสิงหาคมและกันยายน สอดคล้องกับที่ Chanhome และคณะ (2001) รายงานไว้ว่างูเห่าไทยมีฤดูสืบพันธุ์ประมาณเดือนพฤศจิกายน-มกราคม Moore และคณะ (2000) รายงานไว้ว่าเทสโทสเตอโรนในพลาสมาของงูการ์เตอร์สูงสุดในเดือนกันยายนเช่นกัน ระดับเฉลี่ยของเทสโทสเตอโรนของงูเห่าเพศผู้มีแนวโน้มสูงสุดก่อนระดับสูงสุดเฉลี่ยของเอสตราไดออลของงูเห่าเพศเมีย อย่างไรก็ตามในการศึกษาครั้งนี้ไม่สามารถศึกษาพฤติกรรมการสืบพันธุ์รอบปีของงูเห่าไทยในกรณีนี้ควบคู่กับการศึกษาระดับการเปลี่ยนของฮอร์โมนรอบปี

สรุปและข้อเสนอแนะ

สรุป

1. ระบบสืบพันธุ์งูเห่าไทยเพศเมียประกอบด้วยรังไข่ 2 ข้าง ท่อนำไข่ 2 ข้างที่ทอดตัวตามยาว และทวารร่วมโดยรังไข่ข้างขวายาวกว่าและอยู่หน้ากว่ารังไข่ข้างซ้าย ฟอลลิเคิลก่อนข้างรีเรียงเป็นแนวอยู่ในรังไข่รูปยาวรี ส่วนระบบขับถ่ายของงูเห่าไทยเพศเมียประกอบด้วยไต 2 ข้าง ท่อไตทั้ง 2 และทวารร่วม ไตข้างขวาวางตัวหน้ากว่าไตข้างซ้าย
2. ระบบสืบพันธุ์งูเห่าไทยเพศผู้ประกอบด้วยอวัยวะ 2 ข้าง หลอดนำอสุจิต่อจากอวัยวะทั้งสองไปยังฮีมิเพนิส ส่วนระบบขับถ่ายของงูเห่าไทยเพศผู้เหมือนกับของเพศเมีย
3. รังไข่ของงูเห่าไทยมีฟอลลิเคิล 2 ระยะ ได้แก่ ฟอลลิเคิลระยะก่อนสะสมไข่แดงและฟอลลิเคิลระยะสะสมไข่แดง ฟอลลิเคิลประกอบด้วยโอโอไซต์ และเซลล์แกรนูโลซา ซึ่งถูกล้อมด้วยเซลล์ทีกา และพบคอร์ปัสลูเทียมในรังไข่ของงูเห่าที่เก็บในเดือนพฤศจิกายนเท่านั้น
4. ไม่พบความแตกต่างทางจุลกายวิภาคของอวัยวะของงูเห่าไทย อวัยวะประกอบด้วยท่อเซมินิเฟอรัสที่ภายในมีอสุจิระยะต่างๆ ได้แก่ เซลล์ต้นกำเนิดตัวอสุจิ อสุจิขั้นปฐมภูมิ สเตออร์มาติด และตัวอสุจิ นอกจากนี้พบตัวอสุจิในท่อคัคคัสเอฟเฟอเรนส์ และเอพิดิไดมิส
5. ความเข้มข้นเฉลี่ยของฮอร์โมนเอสตราไดออลสูงสุดในเดือนตุลาคม-พฤศจิกายน
6. ความเข้มข้นเฉลี่ยของฮอร์โมนเทสโทสเตอโรนสูงสุดในเดือนสิงหาคม-กันยายน

ข้อเสนอแนะ

การศึกษาการทำงานของต่อมไร้ท่อและการสืบพันธุ์ควรศึกษาพฤติกรรมการสืบพันธุ์ในรอบปีควบคู่กับการศึกษาฮอร์โมนจากต่อมบ่งเพศเป็นอย่างยิ่ง เนื่องจากจากการงานวิจัยครั้งนี้ไม่สามารถสังเกตพฤติกรรมการสืบพันธุ์ของงูเห่าไทยในกรงเลี้ยง เสนอแนะให้ศึกษาชีวิตจำกัดและกระบวนการศึกษาพฤติกรรมโดยการเฝ้าสังเกตต่อไป

เอกสารและสิ่งอ้างอิง

- ณัฐฉิณี ใจจิตร. 2544. การวิเคราะห์ลำดับอะมิโนแอซิด ของอะโปไลโปรตีนชนิดอีของ สัตว์เลี้ยงคลาน. วิทยานิพนธ์ปริญญาโท, มหาวิทยาลัยมหิดล.
- นทีทิพย์ กฤษณามระ. 2538. ฮอร์โมน กลไกและการออกฤทธิ์ร่วม. พิมพ์ครั้งที่ 1. บริษัทโรงพิมพ์ ไทยวัฒนาพานิช จำกัด, กรุงเทพฯ.
- ประทานพร นั่วนุสรณ์. 2538. ผลของพิษงูเห่าและส่วนสกัดที่เป็นพิษต่อหัวใจต่อการทำงานของ ไตในสุนัขที่สลบ. วิทยานิพนธ์ปริญญาโท, จุฬาลงกรณ์มหาวิทยาลัย.
- ไพบุลย์ จินตกุล. 2547. งูพิษในประเทศไทย. พิมพ์ครั้งที่ 3. สำนักพิมพ์มติชน, กรุงเทพฯ.
- วรรณ ธรรมพาลีศ. 2534. การศึกษาส่วนประกอบของพิษงูเห่าไทย ที่มีผลต่อการตายของเนื้อเยื่อ เฉพาะบริเวณ. วิทยานิพนธ์ปริญญาโท, มหาวิทยาลัยศรีนครินทรวิโรฒ ประสานมิตร.
- วิโรจน์ นุตพันธุ์ และ บุญเชื่อน ทุมวิภาค. 2525. การรักษาผู้ป่วยงูพิษกัดและงูพิษในประเทศไทย. โรงพิมพ์พิมพ์มณศ, กรุงเทพฯ.
- วีรยุทธ เลาหะจินดา. 2528. ปักษีวิทยา. บุรพาสาน, กรุงเทพฯ.
- เวลิน นพนิตย์. 2524. เทคนิคทางเนื้อเยื่อวิทยา. สำนักพิมพ์ห้างขายยาตราจ, กรุงเทพฯ.
- สุขใจ มหรรทศนพงส์. 2534. ลักษณะทางจุลกายวิภาคของอวัยวะย่อยอาหารและอวัยวะสืบพันธุ์ ในงูเห่าไทย. วิทยานิพนธ์ปริญญาโท, มหาวิทยาลัยเกษตรศาสตร์.
- ศุภลักษณ์ โรมรัตน์พันธ์. 2545. เทคนิคเนื้อเยื่อสัตว์. มหาวิทยาลัยเกษตรศาสตร์, กรุงเทพฯ.

- อาจ แจ่มเมฆ. 2521. กายวิภาคศาสตร์เปรียบเทียบของคอร์เดต. สำนักพิมพ์ไทยวัฒนาพานิชจำกัด, กรุงเทพฯ.
- Aubret, F., X. Bonnet, R. Shine and O. Lourdais. 2002. Fat is sexy for females but not males: the influence of body reserves on reproduction in snakes (*Vipera aspis*). **Horm. Behav** 42: 135 - 147.
- Bergman, R.A.M. 1951. The anatomy of *Natrix vittata*. **Zool. Meded** 31: 13-24.
- Betz, T.W. 1963. The gross ovarian morphology of the Diamond-backed Water Snake *Natrix rhombifera*, during the reproductive cycle. **Copeia** 4: 692-697.
- Betz, T.W. 1963. The ovariance histology of the Diamond-backed Water Snake, *Natrix rhombifera*, during the reproductive cycle. **J. Morphol** 113: 245-260.
- Bragdon, D.E. 1953. A contribution to the surgical anatomy of the Water Snake *Natrix sipedon sipedon*; the location of the visceral endocrine organs with references to ventral scutellation. **Anat. Rec** 117: 145-161.
- Brooks, B. 1906. The anatomy and internal urogenital organs of certain North American lizards. **Trans. Tex. Acad. Sci** 8: 23-38.
- Chanhome, L., P. Jintakune., H. Wilde and M.J. Cox. 2001. Venomous snake husbandry in Thailand. **Wild. Environ. Med** 12: 17-23.
- Cieslak, E.S. 1945. Relations between the reproductive cycle and the pituitary gland in the snake *Thamnophis radix*. **Physiol. Zool** 18: 299-329.

- Das, S.M. 1960. A competitive functional study of the urino-genital system in *Uromastix hardwickii* Gray (Sand Lizard), *Ptyas mucosus* (Rat Snake) and *Eryx conicus* (Sand Boa). **Proc. nat. Acad. Sci** 30: 59-78.
- Deoras, P.J. 1965. **Snake of India**. National Book Trust, New delhi.
- Drury, R.A.B. and E.A. Wallington. 1967. **Carletons Histological Technique**. 4th ed. Oxford University press, New York.
- Duda P.C. 1972. The venous system of *Agama tuberculata* gray. **Brit. J. Herpetol** 4: 297-306.
- Edwards A. and S.M. Jones. 2001. Changes in plasma progesterone, estrogen, and testosterone concentrations throughout the reproductive cycle in female viviparous Blue-tongued Skinks, *Tiliqua nigrolutea* (cincidae), in Tasmania. **Gen. Comp. Endocr** 122: 260-269.
- Edwards A. and S.M. Jones. 2001. Changes in plasma testosterone, estrogen, and progesterone concentrations throughout the annual reproductive cycle in male viviparous Blue-tongued Skinks, *Tiliqua nigrolutea*, in Tasmania. **J. Herpetol** 35: 293-299.
- Ernst C.H. and G.R. Zug. 1996. **Sakes in Question**. Csiro publishin, Melbourne.
- Gans, C. 1977. **Biology of the Reptilia**. Academic Press, London.
- Huang, M.H. 1983. **Hundred pacer, *Agkistrodon acutus***. Science Publication, Beijing.
- Humason G.L. 1979. **Animal Tissue Technique**. 4th ed. W.H. Freeman and Company, San Francisco.
- Jacobson E.R., 2007. **Infectious Diseases and Pahology of Reptiles**. CRC Press, Florida.

Slowinski, J.B.S. and W. Wüster. 2000. A new cobra (Elapidae: *Naja*) from Myanmar (Burma). **Herpetologica** 56 (2): 257-270.

Junqueira, L.C., G. Malnic and J.A. Long. 1986. **Basic Histology**. 5th ed. Prentice-Hall Int., Connecticut.

Kiernan, J.A. 1999. **Histological and Histochemical Methods: Theory and Practice**. 3rd ed. Heinemann, Oxford.

Lerner, D.T. and R.T. Mason. 2001 The influence of sex steroids on the sexual size dimorphism in the Red-spotted Garter Snake, *Thamnophis sirtalis concinnus*. **Gen. Comp. Endocr** 124: 218 – 225.

Luna, L.G. 1968. **Manual of Histologic Staining Methods of Armed Forces Institute of Pathology**. 3rd ed. Mc Graw-Hill Book Company, New York.

Mader, D.R. 1996. **Reptile Medicine and Surgery**. W.B. Saunders company, London.

Moore, I.T., J.P. Lerner, D.T. Lerner and R.T. Mason. 2000. Relationships between annual cycle of testosterone, corticosterone, and body condition in male Red-spotted Garter Snakes, *Thamnophis sirtalis concinnus*. **Physiol. Biochem. Zool** 73 (3): 307-312.

Parker, G.H. 1931. The passage of sperms and of eggs through the oviducts in terrestrial vertebrate. **Phil. Trans** 219: 381-419.

Parker, H.W. 1977. **Snakes: A natural history**. 2nd ed. British Museum, London.

Pope, C.H. 1956. **The Reptile World**. Routledge & Kegan Paul Ltd, London.

Porter, K.R. 1972. **Herpetology**. W.B. Saunders Company, London.

- Pough, F.H., R.M. Andrews, J.E. Cadle, M.L. Crump, A.H. Savitzky and K.D. Wells. 2004. **Herpetology**. 3rd ed. Pearson, New Jersey.
- Ragsdale, F.R., K.M. Imel, E.E. Nilsson and R.L. Ingermann. 1993. Pregnancy-associated factors affecting organic phosphate levels and oxygen affinity of Garter Snake red cells. **Gen. Comp. endocr** 91: 181-188.
- Salakij, C., J. Salakij. and L. Chanhome. 2002. Comparative hematology, morphology and ultrastructure of blood cells in Monocellate Cobra (*Naja kaouthia*), Siamese Spitting Cobra (*Naja siamensis*) and Golden Spitting Cobra (*Naja sumatrana*). **Nat. Sci** 36: 291-300.
- Shine, R. 1977. Reproduction in Australian elapid snakes I. Testicular cycles and mating season. **Aust. J. Zool** 25: 647-653.
- Shine, R., W.R. Branch, J.K. Webb, P.S. Harlow, T. Shine and J.S. Keogh. 2007. Ecology of cobras from Southern Africa. **J. Zool** 272: 183-193.
- Withers, P.C. 1992. **Comparative Animal Physiology**. Saunders College Publishing, Sydney.
- Zug, G.R. 1993. **Herpetology**. Academic Press Inc, New York.

ภาคผนวก

ภาคผนวก ก

การเก็บตัวอย่าง

เก็บตัวอย่างต่อมบ่งเพศ และล้างตัวอย่างเนื้อเยื่อด้วยนอร์มอลซาลิน (normal saline) 0.7 เปอร์เซ็นต์ ตัดเป็นชิ้นใหญ่ๆ ก่อนนำไปใส่ในน้ำยาคงสภาพ (fixative) จนภายนอกของเนื้อเยื่อแข็งพอ จึงนำออกมาตัดเป็นชิ้นเล็กๆ ด้วยมีดผ่าตัดบนถาดเทียบ ให้ชิ้นเนื้อหนาประมาณ 4 มิลลิเมตร และพื้นที่หน้าตัดไม่เกิน 1-2 ตารางเซนติเมตร นำเนื้อเยื่อที่ได้ไปใส่ในน้ำยาคงสภาพ (fixative) นิวทรอลบัฟเฟอร์ฟอร์มาลิน (neutral buffer formalin) (เวคิน, 2524) (ภาคผนวก 5.1.2)

1. การล้าง

หลังจากเก็บตัวอย่างในสารละลายนิวทรอลบัฟเฟอร์ฟอร์มาลินได้ 24 ชั่วโมง ให้นำเนื้อเยื่อออกมาห่อด้วยผ้าขาวบาง ใส่ภาชนะ ปิดฝา ปิดก๊อกน้ำ เปิดน้ำให้ไหลผ่านเป็นเวลา 30 นาที ถึง 1 ชั่วโมง แล้วนำตัวอย่างเนื้อเยื่อแช่ในแอลกอฮอล์ 70 เปอร์เซ็นต์

2. การขจัดน้ำด้วยแอลกอฮอล์ ทำให้เนื้อเยื่อใสและการแทรกซึมพาราฟิน

เนื่องจากสารที่ใช้ในการฝังเนื้อเยื่อไม่ละลายในน้ำ จึงต้องกำจัดน้ำออกจากเซลล์อย่างสมบูรณ์ (Kiernan, 1999) ส่วนสารที่ใช้ขจัดแอลกอฮอล์ นิยมใช้ไซลีน (zylene) (Humason, 1979)

ใช้เครื่องเตรียมเนื้อเยื่ออัตโนมัติ (automatic tissue processor) ตั้งโปรแกรมเครื่อง 18 ชั่วโมง นำตัวอย่างเนื้อเยื่อออกจากแอลกอฮอล์ 70 เปอร์เซ็นต์ ใส่ในถาดพลาสติก นำถาดใส่ตะกร้าที่มีรูพรุน แขนงตะกร้ากับตะขอของเครื่องอัตโนมัติ ตะกร้าจะหมุนไปยังสารเคมีที่เตรียมไว้

3. การฝังเนื้อเยื่อ

ใช้เครื่องหยอดพาราฟิน (dispenser) โดยนำกระถงโลหะทาด้วยกลีเซอรอล เปิดพาราฟินให้ไหลลงในกระถงโลหะ (mold) นำเนื้อเยื่อมาวางในกระถง ใช้กรอบพลาสติก (embedding ring) ครอบด้านบนกระถง กดกรอบพลาสติกให้แน่นแล้วปล่อยพาราฟินให้ไหลจนเต็ม นำไปวางไว้ที่แผ่นเย็นให้พาราฟินแข็งตัว (ศุภลักษณ์, 2545)

4. การตัดเนื้อเยื่อให้เป็นแผ่นบาง

ตัดแต่งหน้าบล็อก (trimming) ให้เป็นรูปสี่เหลี่ยมคางหมู นำมีดมาใส่ในตัวจับมีด ปรับมีดให้เอียง 5 องศา นำบล็อกมาใส่ตัวจับบล็อก (block holder) ปรับหน้าบล็อกให้ตรง ขนานกับหน้าใบมีด ลงมือตัดเนื้อเยื่อเป็นแผ่นขนาด 5 ไมครอนด้วยความเร็วสม่ำเสมอ จนได้แถบเนื้อเยื่อเป็นแผ่นยาว (ribbon) วางไว้บนกระดาษสีเข้ม ตัดเป็นแผ่นขนาดพอดี

5. ตัดเนื้อเยื่อแผ่นบางบนสไลด์

นำเนื้อเยื่อที่ตัดแล้วมาลอยในอ่างลอยเนื้อเยื่อ (water bath) ในอ่างใส่น้ำกลั่นที่มีเจลาตินอยู่ ใช้สไลด์ช้อนเนื้อเยื่อขึ้นมา นำไปวางบนเครื่องอุ่นสไลด์ (slide warmer)

6. การย้อมสี

ล้างพาราฟินโดยจุ่มในไซลิน 2 ครั้ง ครั้งละ 5 นาที จากนั้นทำการเอาน้ำเข้าเนื้อเยื่อ (hydration) โดยเริ่มจากแอลกอฮอล์ที่มีระดับความเข้มข้นสูงมาต่ำ แอลกอฮอล์ 100เปอร์เซ็นต์ 2 นาที แอลกอฮอล์ 95 เปอร์เซ็นต์ 2 นาที แอลกอฮอล์ 70 เปอร์เซ็นต์ 2 นาที แล้วล้างน้ำประปา เปิดน้ำไหลผ่าน 1-2 นาที แล้วจึงย้อมด้วยฮีมาตอกซิม (Harris' hematoxylin) ใช้ 1 เปอร์เซ็นต์ แอซิดแอลกอฮอล์ (acid alcohol) ล้างสีส่วนเกินออก ทำให้สไลด์เป็นกลางโดยจุ่มในสารละลายลิเทียมคาร์บอเนตแล้วล้างในน้ำไหลนำสไลด์ที่ได้ไปเช็ดสี ถ้าติดสีจางไปให้ย้อมกลับไปชั้นฮีมาตอกซิม ถ้าสีเข้มไป ย้อมกลับไปชั้น 1 เปอร์เซ็นต์ แอซิดแอลกอฮอล์ เมื่อได้สีที่พอใจแล้วจึงนำสไลด์ไปย้อมสีอีโอซิน (eosin) 2 นาที จากนั้นนำสไลด์ไปขจัดน้ำออกโดยให้ผ่านแอลกอฮอล์ที่มีระดับความเข้มข้นจากต่ำไปสูง แอลกอฮอล์ 70เปอร์เซ็นต์ 30 วินาที แอลกอฮอล์ 95 เปอร์เซ็นต์ 2 ครั้ง ครั้งละ 2 นาทีแล้วตรวจสอบสีอีโอซิน ถ้าจางไปให้กลับไปย้อมใหม่ ถ้าเข้มไปให้กลับไปที่แอลกอฮอล์ 70 เปอร์เซ็นต์ เมื่อได้สีพอดีแล้ว นำสไลด์จุ่มใน แอลกอฮอล์ 100เปอร์เซ็นต์ 2 ครั้ง ครั้งละ 2 นาที ขจัดแอลกอฮอล์และทำให้เนื้อเยื่อใสโดยจุ่มในไซลิน 3 ครั้ง ครั้งละ 5 นาที ปิดด้วยกระจกปิดสไลด์ (cover glass) โดยหยดเปอร์เมาท์ (permount) เพื่อทำเป็นสไลด์ถาวร

การเตรียมสารเคมีและสีย้อม

น้ำยาคงสภาพ

1. น้ำยาล้างเนื้อเยื่อก่อนคงสภาพ

Normal saline (NaCl) 0.9 %

2. น้ำยารักษาสภาพ Neutral Buffer Formalin Solution (Drury *et al.*, 1967)

Formalin (30 – 40% formaldehyde) 100 มิลลิลิตร

น้ำกลั่น 900 มิลลิลิตร

Sodium phosphate monobasic ($\text{Na H}_2 \text{PO}_4$) 4 กรัม

Sodium phosphate dibasic ($\text{Na}_2 \text{H PO}_4$) 6.5 กรัม

ผสมเข้าด้วยกัน

เป็นที่นิยมใช้กันทั่วไปตามห้องปฏิบัติการต่างๆ เหมาะสำหรับรักษาสภาพเนื้อเยื่อทั่วไป ทั้งที่ต้องการย้อมสีธรรมดาและสีพิเศษ Formalin จะเป็นตัวคงสภาพโปรตีนในไซโตพลาสซึม ระยะเวลาในการรักษาสภาพประมาณ 24 ชั่วโมง หรือถ้าจำเป็นต้องรักษาสภาพนานกว่านี้ก็ยังใช้ได้ ล้างออกด้วยน้ำไหลประมาณ 6 ชั่วโมง (Humason, 1979)

สีและวิธีการย้อม

Harris hematoxylin and Eosin staining method (Luna, 1968)

1. Harris hematoxylin

Hematoxylin crystal	5 กรัม
Absolute ethyl alcohol	50 มิลลิลิตร
Ammonium alum or potassium alum	100 กรัม
Mercuric oxide (red)	2.5 กรัม

น้ำกลั่น 1000 มิลลิลิตร

Glacial acetic acid

นำผลึกสี hematoxylin ละลายใน absolute alcohol แล้วนำไปต้มแยกไว้ และละลาย ammonium alum ในน้ำกลั่น แล้วนำไปต้ม เมื่อทั้งสองส่วนละลายดีแล้ว ผสมทั้งสองส่วนเข้าด้วยกัน จากนั้นนำกลับไปต้มใหม่ให้เร็วที่สุด (จำกัดเวลาในการต้มประมาณ 1 นาที) ระหว่างนี้ต้องใช้แท่งแก้วคนอยู่ตลอดเวลา แล้วยกลง ค่อยๆ เติม mercuric oxide (red) ลงช้าๆ คนให้สารละลายเข้ากัน แล้วนำไปต้มใหม่จนกระทั่งเดือด สีจะกลายเป็นสีม่วงเข้ม ยกลงจากเตา แล้วแช่ลงในภาชนะที่มีน้ำหล่อเย็นจนเย็นพร้อมนำไปใช้ได้ทันที ก่อนใช้เติม glacial acetic acid 2 – 4 มิลลิลิตรต่อสี 100 มิลลิลิตร เพื่อช่วยเพิ่มให้การติดสีนิวเคลียสดีขึ้น ก่อนใช้ต้องกรองสีก่อน และควรเก็บไว้ในขวดสีน้ำตาล

2. Eosin solution

2.1 1 % Stock Alcoholic Eosin

Eosin Y (water solution)	1 กรัม
น้ำกลั่น 20	มิลลิลิตร
ละลายเข้าด้วยกันแล้วเติม	
95 % Ethyl alcohol	80 มิลลิลิตร

2.2 Working solution

Stock eosin solution	
Ethyl alcohol 80 %	1 ส่วน
Glacial acetic acid	0.5/100มิลลิลิตร

3. 1 % Acid alcohol

Ethyl alcohol 70 %	1000มิลลิลิตร
--------------------	---------------

Hydrochloric	10 มิลลิลิตร
4. Saturate lithium carbonate ($\text{Li}_2 \text{CO}_3$)	
น้ำกลั่น	1000 มิลลิลิตร
Lithium carbonate ($\text{Li}_2 \text{CO}_3$)	
ผสม 2 ส่วนเข้าด้วยกันจนกระทั่ง Lithium carbonate ไม่ละลายในน้ำกลั่น	

การย้อมสี Harris hematoxylin และ Eosin (Luna, 1968)

1. นำแผ่นสไลด์ที่มีชิ้นเนื้อเยื่อติดอยู่ไป deparaffinized โดยจุ่มใน xylene 2 ครั้งๆ ละ 5 นาที
2. hydration ใน ethyl alcohol ที่มีความเข้มข้นต่างๆ (100 %, 95 % และ 70 %) ความเข้มข้นละ 2 นาที แล้วนำไปล้างด้วยน้ำกลั่น
3. ย้อมสี Harris hematoxylin 5 – 8 นาที
4. ล้างในน้ำประปาที่ไหลจนสี Harris hematoxylin ละลายไปหมด
5. differentiate ใน 1 % acid alcohol โดยจุ่มแล้วยกขึ้นอย่างรวดเร็ว แล้วนำไปล้าง ในน้ำประปาที่ไหล 1 นาที
6. จุ่มใน saturated lithium carbonate ($\text{Li}_2 \text{CO}_3$) 1 นาที
7. นำไปล้างในน้ำประปา (tap water) ที่ไหล 1 นาที
8. ย้อมสี eosin solution นาน 2 นาที
9. จุ่ม ใน 70 % ethyl alcohol แล้วยกขึ้นอย่างรวดเร็ว
10. dehydrate ใน ethyl alcohol ที่มีความเข้มข้นต่างๆ (95 % และ 100 %) ความเข้มข้นละ 2 ครั้งๆ ละ 2 นาที
11. clearing ใน xylene 3 ครั้งๆ ละ 5 นาที
12. mount slide โดยใช้ permount ปิดทับด้วย cover glass

ภาคผนวก ข

การเก็บเลือด

1. เจาะเลือดจากเส้นเลือดดำจากด้านท้องของหาง (ภาพที่16)
2. นำเลือดที่ได้เข้าเครื่องปั่นเหวี่ยงจนได้พลาสมา (ภาพที่ 17)
3. คือดพลาสมาเก็บไว้ที่อุณหภูมิ -70°C (ภาพที่ 18)



ภาพผนวกที่ ข1 แสดงวิธีการเจาะเลือด; จับงูเห่าสอดท่อ (บน) เจาะเลือดจากเส้นเลือดดำที่หาง (ล่าง)



ภาพผนวกที่ ข2 แสดงเลือดที่ถูกแยกชั้นจากการปั่นเหวี่ยง; พลาสมาอยู่ส่วนบนหลังจากนำเลือดเข้าเครื่องปั่นเหวี่ยง

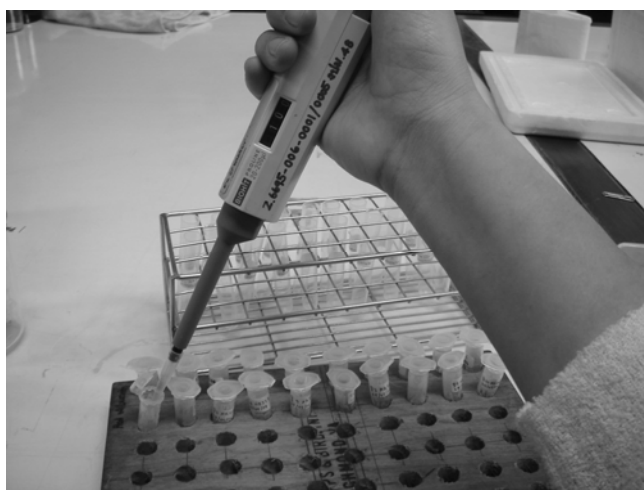


ภาพผนวกที่ ข3 พลาสมากรุงเทพฯ

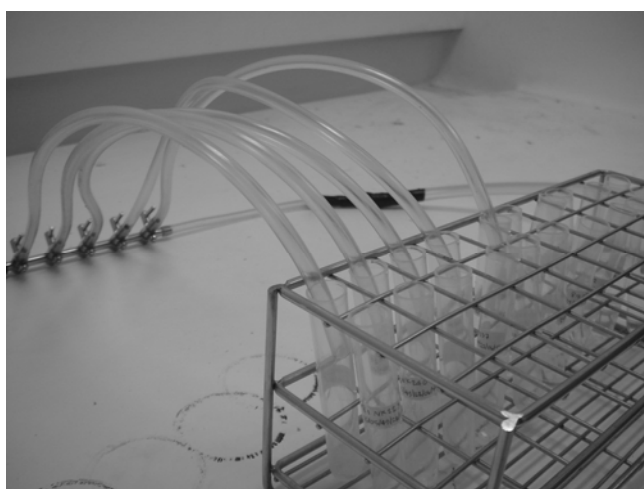
ภาคผนวก ค

การสกัดฮอร์โมนเอสตราไดอลจากพลาสมา

- 1 คูดตัวอย่างพลาสมา 100 ไมโครลิตร และไดเอทิลอีเทอร์ (diethyl ether) 2 มิลลิลิตร ลงในหลอดทดลอง (ภาพที่ 19)
- 2 เวอร์เทคมิกซ์ นาน 1 นาที
- 3 นำไปปั่นแยกชั้น 1,500 รอบต่อนาที นาน 5 นาที
- 4 นำหลอดทดลองไปแช่น้ำแข็งแห้งเพื่อแยกชั้น
- 5 คูดของเหลวชั้นบนใส่ในหลอดทดลองใหม่ที่สะอาด
- 6 นำไประเหยให้แห้งด้วยก๊าซไนโตรเจน (ภาพที่ 20)



ภาพผนวกที่ ค1 การคูดพลาสมาด้วยไมโครปิเปต



ภาพผนวกที่ ค2 การเป่าด้วยก๊าซไนโตรเจน

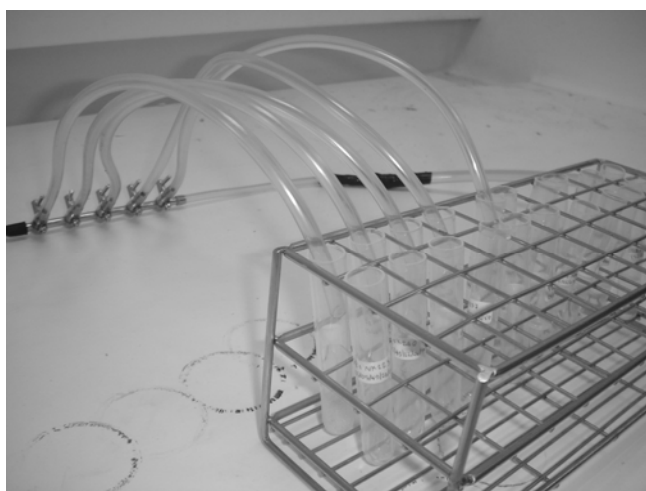
ภาคผนวก ง

การสกัดฮอร์โมนเทสโทสเตอโรนจากพลาสมา

- 1 ดูดตัวอย่างพลาสมา 100 ไมโครลิตร และไดคลอโรมีเทน (dichloromethane) 5 มิลลิลิตร ลงในหลอดทดลอง (ภาพที่ 21)
- 2 เวอร์เทคมิกซ์ นาน 1 นาที
- 3 นำไปปั่นแยกชั้น 1,500 รอบต่อนาที นาน 5 นาที
- 4 เมื่อแยกชั้นแล้ว ดูดของเหลวชั้นบนออกทิ้ง
- 5 ดูดของเหลวชั้นล่างปริมาตร 2 มิลลิลิตรในหลอดทดลองใหม่ที่สะอาด
- 6 นำไประเหยให้แห้งด้วยก๊าซไนโตรเจน (ภาพที่ 22)



ภาพผนวกที่ ๑1 ใช้ไมโครปิเปตดูดพลาสมาใส่หลอดทดลอง



ภาพผนวกที่ ๑2 เป่าให้แห้งด้วยก๊าซไนโตรเจน

ภาคผนวก จ

การวิเคราะห์ฮอร์โมนเอสตราไดออลด้วยวิธีเรดิโออิมมูโนเอสเสย์

1. เตรียมหลอด 2 ชนิด

1.1 หลอดธรรมดาใช้หลอดโพลีโพรไพลีนขนาด 12x75 มิลลิเมตร ติดฉลากหลอดที่ และหลอดเอ็นเอสบี

1.2 หลอดที่เคลือบแอนติบอดี เตรียมค่ามาตรฐาน 6 ระดับ โดยใช้หลอดที่เคลือบด้วยแอนติบอดีเอสตราไดออล ติดฉลากบนหลอดเป็น เอ (maximum binding, MB) บี ซี ดี อี เอฟ และตัวควบคุม

2. ติดฉลากตัวอย่าง

2.1 ปิเปตคาลิเบรเตอร์เอ (zero calibrator A) 100 มิลลิลิตร ใส่ในเอ็นเอสบี และหลอดเอ

2.2 ปิเปตคาลิเบรเตอร์บี ซี จนถึงจี และตัวควบคุม ใส่ในหลอดที่ทำฉลากไว้

2.3 ปิเปตคาลิเบรเตอร์เอ 120 มิลลิลิตร ใส่ในตัวอย่างพลาสติกที่สกัดฮอร์โมน เอสตราไดออลแล้ว นำไปเวอร์เท็กซ์มิกซ์ แล้วปิเปตมา 100 มิลลิลิตร ใส่ในหลอดที่ใส่ได้ไว้

2.4 ปิเปตไอโอดีน-125 (^{125}I Estradiol) ในทุกหลอด แล้วเวอร์เท็กซ์มิกซ์

2.5 บ่ม 3 ชั่วโมงที่อุณหภูมิห้อง

2.6 เทของเหลวในหลอดทิ้ง ยกเว้นหลอดที่ ทำให้แห้งโดยใช้โฟมดีแคนติงแรค (foam decanting rack) คว่ำหลอดแล้วเคาะแรงๆ บนกระดาษทิชชู รอให้แห้ง

2.7 นับด้วยเครื่องนับรังสีแกมมาเป็นเวลา 1 นาที

2.8 บันทึกค่าซีพีเอ็ม (cpm) แล้วนำไปคำนวณหาปริมาณฮอร์โมนเอสตราไดออลด้วยโปรแกรมสำเร็จรูป GMS Version 3.05: Gamma – 12 (ภาพที่ 23)



ภาพผนวกที่ ๑1 เครื่องวัดรังสีแกมมา

ภาคผนวก จ

การวิเคราะห์ฮอร์โมนเทสโทสเตอโรนด้วยวิธีเรดิโออิมมูโนเอสเสย์

1 เตรียมหลอด 2 ชนิด

1.1 หลอดธรรมดา (plain tube) ใช้หลอดโพลีโพรไพลีน (polypropylin) ขนาด 13x75 มิลลิเมตร เป็นหลอดหลอดที่ (total counts)

1.2 หลอดเอ็นเอสบี (nonspecific binding, NSB) เพื่อเตรียมค่าฮอร์โมนมาตรฐาน 4 ระดับ โดยใช้หลอดที่เคลือบด้วยแอนติบอดีเทสโทสเตอโรน ติดฉลากบนหลอดเป็น เอ (maximum binding, MB) บี ซี ดี และ ตัวควบคุม (control)

2 ติดฉลากตัวอย่าง

2.1 บีเปิดคาลิเบรเตอร์เอ (zero calibrator A) 80 มิลลิลิตร ลงในหลอดตัวอย่างพลาสติกที่ทำการสกัดแล้ว นำไปเวอร์เทกมิทซ์ แล้วบีเปิดมา 50 ไมโครลิตร ใส่ในหลอดที่โค้ดไว้

2.2 บีเปิดคาลิเบรเตอร์เอ 50 ไมโครลิตร ใส่ในหลอดเอ็นเอสบี และหลอดเอ

2.3 บีเปิดคาลิเบรเตอร์บี ซี ดี อี เอฟ และตัวควบคุมลงในหลอดที่ทำการติดฉลากไว้แล้ว

2.4 บีเปิดไอโอดีน-125 (^{125}I Total Testosterone) ในทุกหลอด แล้วเวอร์เทกซ์ (ภาพที่ 25)

2.5 บ่ม (incubate) 3 ชั่วโมง ที่อุณหภูมิ 37 องศาเซลเซียส

2.6 เทของเหลวในหลอดทิ้ง ยกเว้นหลอดที่ ทำให้แห้ง โคใช้โฟมดีแคนดิงแรก กว่าหลอดแล้วเคาะแรงๆ บนกระดาษทิชชู รอให้แห้ง

2.7 นับด้วยเครื่องวัดรังสีแกมมา (gamma counter) เป็นเวลา 1 นาที

2.8 บันทึกค่าซีพีเอ็ม (cpm) แล้วนำไปคำนวณหาปริมาณฮอร์โมนเทสโทสเตอโรนด้วยโปรแกรมสำเร็จรูป GMS Version 3.05: GAMMA – C12



ภาพผนวกที่ ๑1 ชุดทดสอบฮอร์โมนเทสโทสเตอโรน

ประวัติการศึกษา และการทำงาน

ชื่อ –นามสกุล	นางสาวรววิฑู มีสุข
วัน เดือน ปี ที่เกิด	วันที่ 16 ตุลาคม 2525
สถานที่เกิด	สงขลา
ประวัติการศึกษา	วิทยาศาสตรบัณฑิต (ชีววิทยา) มหาวิทยาลัยสงขลานครินทร์ (หาดใหญ่)
ตำแหน่งหน้าที่การงานปัจจุบัน	
สถานที่ทำงานปัจจุบัน	
ผลงานดีเด่นและรางวัลทางวิชาการ	
ทุนการศึกษาที่ได้รับ	ทุนสนับสนุนงานวิจัยระดับบัณฑิตศึกษา เพื่อการตีพิมพ์ ในวารสารระดับชาติและนานาชาติ